



REPUBLIKA E SHQIPËRISË

MINISTRIA E FINANCAVE DHE EKONOMISË  
DREJTORIA E PËRGJITHSHME E PRONËSISË INDUSTRIALE



# BULETINI I PRONËSISË INDUSTRIALE (Patenta)

Nr. 28/2022  
Tiranë më, 04 Tetor 2022

<b>Kodet e përdorura në gazette.....</b>	<b>3</b>
INID Codes used in gazette	
<b>Kodet e shteteve.....</b>	<b>4</b>
States codes	
<b>Patenta të lëshuara.....</b>	<b>9</b>
Granted Patents	
<b>Patenta të skaduara për mospagesën e ripërtëritjes.....</b>	<b>60</b>
Lapsed patents	

Kodet INID dhe minimumi i kërkuar për identifikimin e të dhënave bibliografike lidhur me:

**Patentat.**

- (11) Numri i patentës
- (21) Numri kombëtar i aplikimit
- (22) Data e depozitimit në Shqipëri
- (30) Prioriteti
- (54) Titulli i shpikjes
- (57) Pretendimet
- (71) Emri dhe adresa e aplikuesit
- (72) Emri/ Adresa e Shpikësit
- (73) Emri dhe adresa dhe pronarit të patentës
- (96) Numri dhe data ndërkombëtare e aplikimit
- (97) Numri dhe data Nderkombëtare e publikimit

**Kodet e shteteve**

Afghanistan / Afganistani	AF
Albania / Shqipëria	AL
Algeria / Algjeria	DZ
Angola / Anguila	AI
Antigua and Barbuda / Antigua dhe Barbud	AG
Argentina / Argjentina	AR
Aruba / Aruba	AW
Australia / Australia	AU
Austria / Austria	AT
Bahamas / Bahamas	BS
Bahrain / Bahrein	BH
Bangladesh / Bangladeshi	BD
Barbados / Barbados	BB
Belarus / Bjellorusia	BY
Belgium / Belgjika	BE
Belize / Belice	BZ
Benin / Benin	BJ
Bermuda / Bermuda	BM
Bhutan / Bhutan	BT
Bolivia / Bolivia	BO
Bosnia Herzegovina / Bosnja Hercegovina	BA
Botswana / Botsvana	BW
Bouvet Islands / Ishujt Buver	BV
Brazil / Brazili	BR
Brunei Darussalam/Brunei Darusalem	BN
Bulgaria / Bullgaria	BG
Burkina Faso / Burkina Faso	BF
Burma / Burma	MM
Burundi / Burundi	BI
Cambodia / Kamboxhia	KH
Cameroon / Kameruni	CM
Canada / Kanada	CA
Cape Verde / Kepi i Gjellbër	CV
Cayman Islands / Ishujt Kaiman	KY
Central African Republic / Republika e Afrikës Qendrore	CF
Chad/ Cadi	TD
Chile / Kili	CL
China / Kina	CN
Colombia / Kolumbia	CO
Comoros / Komoros	KM
Congo / Kongo	CG
Cook Islands / Ishujt Kuk	
Costa Rica / Kosta Rika	CR
Cote d'Ivoire / Bregu I Fildishte	CI
Croatia / Kroacia	HR
Cuba / Kuba	CU
Cyprus / Qipro	CY
Czech Republic / Republika Çeke	CZ

Denmark / Danimarka	DK
Djibouti / Xhibuti	DJ
Dominika / Domenika	DM
Dominican Republic / Republika Domenikane	DO
Ecuador / Ekuadori	EC
Egypt / Egjipti	EG
El Salvador / El Salvadori	SV
Equatorial Guinea / Guinea Ekuatoriale	GQ
Erintrea / Erintrea	ER
Estonia / Estonia	EE
Ethiopia / Etiopia	ET
Falkland Islans / Ishujt Malvine	FK
Fiji / Fixhi	FJ
Findland / Findland	FI
France / Franca	FR
Gabon / Gaboni	GA
Gambia / Gambia	GM
Georgia / Gjeorgjia	GE
Germany / Gjermania	DE
Ghana / Gana	GH
Giblartar / Gjibraltari	GI
Greece / Greqia	GR
Grenada / Granada	GD
Guatemala / Guatemala	GT
Guinea / Guinea	GN
Guinea Bissau / Guinea Bisao	GW
Guyana / Guajana	GY
Haiti / Haiti	HT
Honduras / Hondurasi	HN
Hong Kong / Hong Kongu	HK
Hungary / Hungaria	HU
Iceland / Islanda	IS
India / India	IN
Indonezia / Indonezia	ID
Iran / Irani	IR
Iraq / Iraku	IQ
Ireland / Irlanda	IE
Israel / Israeli	IL
Italy / Italia	IT
Jamaica / Xhamaika	JM
Japan / Japonia	JP
Jordan / Jordania	JO
Kazakhstan / Kazakistani	KZ
Kenya / Kenia	KE
Kiribati / Kiribati	KI
Korea / Korea	KR
Kyrgyzstan / Kirgistan	KG
Kwait / Kuvaiti	KW
Laos / Laosi	LA
Latvia / Letonia	LV
Lebanon / Libani	LB

Lesotho / Lesoto	LS
Liberia / Liberia	LR
Macau / Makau	MO
Madagascar / Madagaskari	MG
Malawi / Malavi	MW
Malaysia / Malaizia	MY
Maldives / Maldives	MV
Mali / Mali	ML
Malta / Malta	MT
Marshall Islands / Ishujt Marshall	MH
Mauritania / Mauritania	MR
Mauritius / Mauritius	MU
Mexico / Meksika	MX
Monaco / Monako	MC
Mongalia / Mongolia	MN
Montserrat / Montserrati	MS
Morocco / Maroku	MA
Mozambique / Mozambiku	MZ
Myanmar / Myanmar	MM
Namibia / Namibia	NA
Nauru / Nauru	NR
Nepal / Nepal	NP
Netherlands / Hollanda	NL
Netherlands Andilles /Antilet Hollandeze	AN
New Zealand / Zelanda e Re	NZ
Nicaragua / Nikaragua	NI
Niger / Nigeri	NE
Nigeria / Nigeria	NG
Norway / Norvegjia	NO
Oman / Omani	OM
Pakistan / Pakistani	PK
Palau / Palau	PW
Panama / Panamaja	PA
Papua New Guinea / Papua Guinea e Re	PG
Paraguay / Paraguai	PY
Peru / Peruja	PE
Philippines / Filipine	PH
Poland / Polonia	PL
Portugal / Portugalia	PT
Qatar / Katari	QA
Republik Of Moldova / Republika e Moldavise	MD
Romania / Rumania	RO
Russian Federation/Federata Ruse	RU
Rwanda / Ruanda	RW
Saint Helena / Shen Helena	SH
Saint Kitts and Nevis / Shen Kits dhe Nevis	KN
Saint Lucia / Shen Lucia	LC
Saint Vincent and the Grenadines / Shen Vinsenti dhe Grenadinet	VC
Samoa / Samoa	WS
San Marino / San Marino	SM
Sao Tome and Principe /Sao Tome dhe Principe	ST

Saudi Arabia / Arabia Saudite	SA
Senagal / Senegali	SN
Seychelles / Sejshellet	SC
Sierra Leone / Sierra Leone	SL
Singapore / Singapori	SG
Slovakia / Sllovakia	SK
Slovenia / Sllovenia	SI
Solomon Islans / Ishujt Solomone	SB
Somalia / Somalia	SO
South Africa / Afrika e Jugut	ZA
Spain / Spanja	ES
Sri Lanka / Sri Lanka	LK
Sudan / Sudani	SD
Suriname / Surinami	SR
Swaziland / Shvacilandi	SZ
Sweden / Suedia	SE
Switzerland / Zvicra	CH
Syria / Siria	SY
Taiwan / Taivani	TW
Thailand / Tailanda	TH
Togo / Togo	TG
Tonga / Tonga	TO
Trinidad and Tobago / Trinidad dhe Tobako	TT
Tinisia / Tunizia	TN
Turkey / Turqia	TR
Turkmenistan / Turkmenistani	TM
Turks and Caicis Islands / Ishujt Turk dhe Kaiko	TC
Tuvalu / Tuvalu	TV
Uganda / Uganda	UG
Ukraine / Ukraina	UA
United Arab Emirates /Emiratet e Bashkuara Arabe	AE
United Kingdom/ Mbreteria e Bashkuar	GB
United Republic of Tanzania / Republika e Bashkuar e Tanzanise	TZ
United States of America / Shtetet e Bashkuara te Amerikes	US
Uruguay / Uruguai	UY
Uzbekistan / Uzbekistani	UZ
Vanuatu / Vanuatu	VU
Vatican / Vatikani	VA
Venezuela / Venezuela	VE
Vietnam / Vietnami	VN
Virgin Islands / Ishujt Virxhin	VG
Yemen / Jemeni	YE
Yugoslavia / Jugosllavia	YU
Zaire / Zaireja	ZR
Zambia / Zambia	ZM
Zimbabwe / Zimbabve	ZW

# **PATENTA TË LËSHUARA**



(11) **11098**

(97) EP3484547 / 13/04/2022

(96) 17739840.1 / 07/07/2017

(22) 29/05/2022

(21) AL/P/ 2022/277

(54) **MODUL PËR PËRCAKTIMIN E DOZËS PËR NJË PAJISJE TË DHËNIES SË ILAÇIT**  
22/09/2022

(30) 201662362808 P 15/07/2016 US and 201762466658 P 03/03/2017 US

(71) Eli Lilly and Company

Lilly Corporate Center, Indianapolis, IN 46285, US

(72) BYERLY, Roy Howard (c/o Eli Lilly and Company, P.O. Box 6288, Indianapolis, Indiana 46206-6288); MASSARI, Rossano (c/o Eli Lilly and Company, P.O. Box 6288, Indianapolis, Indiana 46206-6288);

PACCIORETTI, Davide (c/o Eli Lilly and Company, P.O. Box 6288, Indianapolis, Indiana 46206-6288)

(74) Vjollca KRYEZIU

Rruga "Idriz Dollaku", P. 5, Shk.2, Ap. 39, Tiranë, Kutia postare 8198

(57)

1. Modul i përcaktimit të dozës (20) i bashkëngjitur në mënyrë të lëvizëshme tek një pajisje dhënieje të ilaçit (10), ku kjo pajisje për dhënie e ilaçit përbëhet nga një trup i pajisjes (11), një element i përcaktimit të dozës (32), dhe një aktuator (lëvizës) (34), ku elementi i përcaktimit të dozës lëviz në mënyrë spirale kundrejt trupit të pajisjes gjatë dhënies së ilaçit lidhur me sasinë e ilaçit për t'u dhënë, ku elementi i përcaktimit të dozës përbëhet nga një sipërfaqe perimetrike (e tërthortë) e ekspozuar për t'u përdorur për rrotullimin e elementit të përcaktimit të dozës që ka lidhje me trupin e pajisjes, dhe lëvizësi që lëviz në mënyrë spirale me elementin e përcaktimit të dozës gjatë sistemimit dhe transferimit të dozës pa rrotullim në varësi të trupit të pajisjes gjatë dhënies së dozës, ku moduli në fjalë përfshin:

një komponent lidhës (101) i konfiguruar për t'u fiksuar në mënyrë boshtore dhe rrotulluese tek elementi i përcaktimit të dozës (32);

një komponent dozimi (103) që ka një mënyrë të parë operimi në të cilën komponenti në fjalë i dozimit është i fiksuar në mënyrë boshtore dhe rrotulluese tek komponenti lidhës gjatë një veprimi për përcaktimin e dozës të pajisjes të dhënies së ilaçit, dhe një mënyrë të dytë operimi në të cilën komponenti në fjalë i dozimit është fiksuar në mënyrë boshtore dhe rrotulluese tek lëvizësi (aktuatori) dhe në të cilën komponenti lidhës është i rrotullueshëm lidhur me komponentin e dozimit në fjalë gjatë një veprimi të dhënies së dozës të pajisjes së dhënies së ilaçit; dhe

një grupim elektronik (140) i bashkëngjitur tek komponenti në fjalë i dozimit, ku ky grupim elektronik përfshin një sensor rrotullimi (172, 174) që vepron për të përcaktuar rrotullimin e komponentit lidhës në fjalë në lidhje me komponentin e dozimit gjatë dhënies së dozës; ku komponenti i dozimit në fjalë (103) përbëhet nga një mur i brendshëm (114) dhe një mur i jashtëm (120), ku komponenti lidhës i përmendur (101) përfshin një mur lidhës (112) i pranuar midis mureve të brendshme dhe të jashtme, ku ky komponenti lidhës shtrihet në distancë përtej murit të brendshëm dhe përfshin një pjesë lidhëse të konfiguruar për të qënë i bashkuar tek sipërfaqja e tërthortë e ekspozuar e elementit të përcaktimit të dozës për të lidhur komponentin lidhës në fjalë me elementin e përcaktimit të dozës.

2. Moduli i pretendimit 1 në të cilin, në mënyrën e dytë të operimit, komponenti lidhës në fjalë (101) nuk është në kontakt me komponentin e dozimit në fjalë (103).
3. Moduli i pretendimit 1 dhe që përfshin edhe një mekanizëm mbyllës (162, 164) që mbyll në mënyrë rrotulluese komponentin lidhës në fjalë (101) me komponentin e dozimit (103) në mënyrën

e parë të operimit, ku mekanizmi mbyllës në fjalë përfshin dhëmbë përballë njeri tjetrit që shtrihen në mënyrë aksiale nga komponenti lidhës në fjalë dhe komponenti i dozimit në fjalë, ku dhëmbët janë konfiguruar për të shkaktuar shkëputje të komponentit të dozimit nga komponenti lidhës në rast se nga ky komponent i dozimit aplikohet një forcë rrotulluese më shumë se një sasi e parapërcaktuar ndaj komponentit lidhës .

4. Moduli i pretendimit 1 ku muri i jashtëm (120) përfshin një qafëz me drejtim nga brënda që ka një sipërfaqe me pamje të afërt, ku muri lidhës përfshin një fllanxhë me drejtim nga jashtë e pranuar pranë sipërfaqes me pamje të afërt të qafëzës.
  
5. Moduli i pretendimit 1 ku muri i jashtëm (120) shtrihet në distancë për të mbuluar në mënyrë radiale të paktën një pjesë të sipërfaqes së tërthortë të ekspozuar të elementit të përcaktimit të dozës (32) pas instalimit të këtij moduli (20) në pajisjen e dhënies së ilaçit (10).
  
6. Moduli i pretendimit 1 ku komponenti i dozimit (103) përfshin një pjesë kapak (116) që ka një mur të jashtëm (120) të vendosur në mënyrë rrezore jashtë një muri cilindrik lidhës (112) të komponentit lidhës, dhe muret e jashtme dhe të brendshme të këtij komponenti të dozimit janë të lëvizëshme në mënyrë aksiale në lidhje me murin lidhës të komponentit lidhës në fjalë.
  
7. Moduli i pretendimit 1 dhe që përfshin edhe një mekanizëm mbyllës që operon për të mbyllur në mënyrë rotative komponentin lidhës në fjalë (101) me komponentin e dozimit në fjalë (103) në mënyrën e parë të operimit.
  
8. Moduli i pretendimit 7 ku lëvizja boshtore në distancë e komponentit të dozimit në fjalë (103) në lidhje me trupin e pajisjes (11) vepron për shkëputjen e mekanizmit mbyllës për të lejuar rrotullimin e komponentit mbyllës në fjalë (101) në lidhje me komponentin e dozimit.
  
9. Moduli i pretendimit 8 ku lëvizja aksiale në distancë e komponentit të dozimit (103) që ka lidhje me trupin e pajisjes (11) është vepruese për shkëputjen e elementit të përcaktimit të dozës (32) nga aktuatori (34) për të lejuar rrotullimin e elementit të përcaktimit të dozës në lidhje me aktuatorin gjatë dhënies së dozës.
  
10. Moduli i pretendimit 7 ku mekanizmi mbyllës në fjalë përfshin dhëmbë përballë njeri tjetrit që shtrihen në mënyrë aksiale nga komponenti lidhës (101) dhe komponenti i dozimit në fjalë (103).

11. Moduli i pretendimit 10 ku dhëmbët përballë njeri tjetrit formohen në murin lidhës (112) të komponentit lidhës (101) dhe një nga muret e brendshëm dhe të jashtëm (114, 120) të komponentit të dozimit në fjalë (103).
12. Moduli i pretendimit 1 ku komponenti i dozimit (103) përfshin një pjesë kapele mbrojtëse (116) që ka një mur të jashtëm (120) i cili shtrihet nga një mur fundor (118) dhe një tub drite (144) në formën e një disku i konfiguruar për të marrë dritë në mënyrë aksiale nga një dritë indikator (122) dhe për të siguruar dritë në mënyrë rrezore në 360 gradë.
13. Moduli i pretendimit 7 ku mekanizmi mbyllës operon për të mbyllur në mënyrë rotative murin lidhës (112) të komponentit lidhës (101) me një nga muret e brendshëm dhe të jashtëm (114, 120) të komponentit të dozimit në fjalë.
14. Pajisje për dhënien e ilaçit (10) që shërben për përcaktimin e sasisë së një dhënieje doze ilaçi, pajisje e cila përbëhet nga:

një trup i pajisjes (11)

një element i përcaktimit të dozës (32) që i bashkohet trupit të pajisjes në fjalë dhe që është i rrotullueshëm rreth një aksi të rrotullimit lidhur me trupin e pajisjes në fjalë, ku ky element i përcaktimit të dozës që lëviz në mënyrë aksiale dhe rrotullohet në vartësi të trupit të pajisjes në fjalë gjatë përcaktimit të dozës dhe gjatë dhënies së dozës;

një aktuator (34) bashkëlidhur me trupin e pajisjes në fjalë, ku ky aktuator lëviz në mënyrë aksiale dhe rrotullohet me elementin e përcaktimit të dozës në fjalë në lidhje me trupin e pajisjes në fjalë gjatë përcaktimit të dozës, ndërsa ky aktuator lëviz në mënyrë aksiale dhe jo të rrotullueshme në lidhje me trupin e pajisjes në fjalë gjatë dhënies së dozës, ndërkohë që elementi i përcaktimit të dozës rrotullohet në vartësi me aktuatorin në fjalë gjatë dhënies së dozës në lidhje me sasinë e dozës së dhënë; dhe moduli i përcaktimit të dozës i çdonjerit prej pretendimeve 1 – 13.

(11) **11101**

(97) EP3270751 / 30/03/2022

(96) 16895722.3 / 11/11/2016

(22) 23/06/2022

(21) AL/P/ 2022/331

(54) **PROCESUES USHQIMI**

28/09/2022

(30) 201615078432 23/03/2016 US

(71) Capbran Holdings, LLC

Suite 2300 11601 Wilshire Boulevard, Los Angeles, California 90025, US

(72) SAPIRE, Colin (c/o Trojan Law Offices 9250 Wilshire Blvd., Suite 325, Beverly Hills, CA 90212)

(74) Aleksandra Mecaj

Rr. Reshit Collaku, Pall. Shallvare, shk. 5, ap.70/4, Tiranë

(57)

1. Një përpunues ushqimi, që përbëhet nga:

një bazë motori (110) duke përfshirë një bashkim motorik (112);

një enë e jashtme (210) që montohet në mënyrë të lëvizshme në bazën e motorit (110);

një enë e brendshme (230) që montohet në mënyrë të lëvizshme brenda enës së jashtme (210);

një kapak i brendshëm (220) duke përfshirë një teh (224) dhe një hapje kalimi ushqimi në një sipërfaqe të kapakut të brendshëm (220);

**karakterizuar në atë që**

ena e brendshme (230) ka një bashkues të brendshëm të enës (232) për mbylljen e

bashkimit të motorit (112) dhe kapaku i brendshëm (220) fiksohet në majë të enës së

brendshme (230) në mënyrë që ena e brendshme (230) të lëvizë në unison me kapakun e brendshëm (220) gjatë rrotullimit.

2. Përpunuesi i ushqimit i pretendimit 1, ku baza e motorit (110) përfshin një bashkim të dytë motorik (114) që rrotullohet me një shpejtësi të ndryshme nga bashkimi i motorit (112) dhe bashkimi i dytë i motorit (114) është përshtatur për t'u lidhur në mënyrë të lëvizshme me një njësi të ndryshme të përpunimit të ushqimit.
3. Përpunuesi i ushqimit i pretendimit 1 ose 2, ku baza e motorit (110) përfshin më tej një aktivizues sigurie të jashtme të vendosur në një vendndodhje të parë radiale në lidhje me një qendër të bazës së motorit (110) dhe një aktivizues të brendshëm të sigurisë (146) të vendosur në një vendndodhje të dytë radiale në lidhje me një qendër të bazës së motorit (110); një qark që kontrollon një motor (111) të bazës së motorit (110) në mënyrë që motori (111) të ndizet vetëm kur aktivizuesi i jashtëm i sigurisë ose aktivizuesi i brendshëm i sigurisë (146) është i shtypur.
4. Përpunuesi i ushqimit i pretendimit 2 ose alternativa e pretendimit 3, duke përfshirë pretendimin 2, ku ena e jashtme (210) përfshin një kapak të jashtëm (250) që është montuar në mënyrë rrotulluese dhe një shufër që ndodhet në afërsi me aktivizuesin e jashtëm të sigurisë kur anija e jashtme (210) është montuar në bazën e motorit (110);

shufra rrëshqet vertikalisht midis një pozicioni të poshtëm dhe një pozicioni të sipërm, ku, kur kapaku i jashtëm (250) mbyllet, kapaku i jashtëm (250) e shtyn shufrën në pozicionin e poshtëm; dhe nga ana tjetër, shufra shtyp aktivizuesin e jashtëm të sigurisë; dhe njësisia e ndryshme e përpunimit të ushqimit përfshin një shufër të ndryshme që ndodhet për t'u lidhur me aktivizuesin e brendshëm të sigurisë (146) kur njësisia e ndryshme e përpunimit të ushqimit është montuar në bazën e motorit (110) në mënyrë që shufra e ndryshme të mund të shtypë aktivizuesin e brendshëm të sigurisë (146).

5. Përpunuesi i ushqimit i një prej pretendimeve të mësipërme, ku kapaku i brendshëm (220) mund të hiqet nga ena e brendshme (230); ena e brendshme (230) përfshin një mur rrethor; muri rrethor ka një skaj të sipërm që përfshin një kapak të brendshëm (220) përfshin një zgjatje që është plotësuese me zgavrën e enës së brendshme, në mënyrë që kapaku i brendshëm (220) të sigurohet në vend me enën e brendshme me anë të shtrirjes së prerjes dhe zgjetjes.

6. Përpunuesi i ushqimit i njërit prej pretendimeve të mësipërme, ku kapaku i brendshëm (220) është i montuar në mënyrë rrotulluese mbi enën e brendshme në mënyrë që kapaku i brendshëm (220) të sigurohet në vend me enën e brendshme me një menteshë.

7. Përpunuesi i ushqimit i njërit prej pretendimeve të mësipërme, ku:

baza e motorit (110) përfshin një fllanxhë;  
ena e jashtme (210) përfshin një fole mbajtëse të përshtatur për të rrëshqitur në fllanxhë për të kyçur enën e jashtme (210) në vend me bazën e motorit (110).

8. Përpunuesi i ushqimit i pretendimeve 1 deri në 3, ku një kapak i jashtëm (250) është montuar në mënyrë rrotulluese në enën e jashtme (210);

baza e motorit (110) përfshin një aktivizues sigurie;  
ena e jashtme (210) përfshin një shufër që rrëshqet vertikalisht midis një pozicioni të poshtëm dhe një pozicioni të sipërm, ku, kur kapaku i jashtëm (250) mbyllet, kapaku i jashtëm (250) e shtyn shufrën në pozicionin e poshtëm; dhe nga ana tjetër, shufra shtyp aktivizuesin e sigurisë.

9. Përpunuesi i ushqimit i njërit prej pretendimeve të mësipërme, ku ena e jashtme (210) përfshin një hapje të poshtme në mënyrë që bashkuesi i brendshëm i enës (232) drejtohet drejtpërdrejt nga bashkimi i motorit (112).

10. Përpunuesi i ushqimit i njërit prej pretendimeve 1 deri në 8, ku ena e jashtme (210) përfshin një bashkues rrotullues të enës së jashtme (212) që është i rrotullueshëm, ku bashkuesi rrotullues i enës së jashtme (212) angazhohet në mënyrë të lëvizshme me bashkimin e motorit (112) dhe bashkuesi rrotullues i enës së brendshme (232) angazhohet në mënyrë të lëvizshme me lidhësin rrotullues të enës së jashtme (212) në mënyrë që bashkuesi rrotullues i enës së brendshme (232) të drejtohet në mënyrë indirekte nga bashkimi i motorit (112).

11. Përpunuesi i ushqimit i njërit prej pretendimeve të mësipërme, ku tehu (302) në

kapakun e brendshëm (220) është një teh drejtues (222) dhe kapaku i brendshëm (220) përfshin një teh pasues (224);  
tehu kryesor (222) duke përfshirë një sërë hapjesh të vogla për të bërë makarona të holla;  
tehun pasues (224) duke përfshirë një skaj të drejtë prerës.

12. Përpunuesi i ushqimit i njërit prej pretendimeve të mësipërme, ku kapaku i brendshëm (220) përfshin një mori hapjesh me gishta (226).

(11) **11102**

(97) EP3783210 / 06/04/2022

(96) 19193278.9 / 23/08/2019

(22) 24/06/2022

(21) AL/P/ 2022/332

(54) **GRUP GJENERATOR**

28/09/2022

(30)

(71) NED S.R.L.

Zona Industriale Lotto N.36 s.n., 74022 Fragagnano (TA), IT

(72) GIANCANO, PIERO (Via Cavour, 27, 74022 FRAGAGNANO (TA))

(74) Vladimir Nika

Rr. Fadil Rada Pall. Gener 2, Shk. C, Nr. 2/1, Tiranë

(57)

1. Grup gjenerator (200) që përfshin:

- një motor me djegie të brendshme për gjenerimin e energjisë mekanike nga djegia e një karburanti,
- një alternator për shndërrimin e energjisë mekanike të gjeneruar nga motori me djegie të brendshme në energji elektrike,
- një panel elektrik i lidhur me alternatorin për të kontrolluar dhe shpërndarë energjinë elektrike të gjeneruar nga alternatori,
- një kuti (1) që përfshin një paret të poshtëm (13) dhe të paktën një paret anësor (10, 11), i cili përcakton një ndarje (V) që strehon motorin me djegie të brendshme dhe alternatorin; ku paret i poshtëm në fjalë (13) dhe të paktën një paret anësor i përmendur (10, 11) ka një sipërfaqe të brendshme të drejtuar drejt ndarjes (V) të kutisë (1); ku kutia (1) përfshin vrimta (2) të marra në të paktën një paret anësor në fjalë (10, 11) në mënyrë që të vendosë ndarjen (V) në komunikim me pjesën e jashtme;
- një grup të parë ndarjesh (3) prej materiali që thith zhurmat, vendosen në një pozicion të ndarë brenda ndarjes (V) të kutisë (1) pranë vrimave (2); ku ndarjet (3) të të paktën një grupi ndarjesh (3) janë vendosur në drejtim ortogonal në lidhje me të paktën një paret anësor të përmendur (10,11) të kutisë së pajisur me vrimat në fjalë (2) dhe janë vendosur në pozicion paralel ngjitur në mënyrë të tillë që të krijohet një hapësirë midis dy ndarjeve ngjitur (3), ku hapësira në fjalë merr ajrin e thithur nga pjesa e jashtme përmes vrimave të përmendura (2),

ku sipërfaqja e brendshme e përmendur e paretit të poshtëm në fjalë (13) dhe e të paktën një muri anësor (10,11) të kutisë është e mbuluar me panele thithëse të zhurrave,

**karakterizuar në atë që**

panelet e përmendura që thithin zhurmat kanë një trashësi më të madhe ose të barabartë me 6 cm, dhe grupi i gjeneratorit (200) përfshin më tej

- një grup të dytë ndarjesh (3) prej materiali thithës të zhurrave, të cilat janë të vendosura brenda ndarjes (V) të kutisë, në pozicionin e pasmë afër në krahasim me grupin e parë të ndarjeve (3) sipas një drejtimi të lëvizjes përpara të ajrit që përcillet brenda ndarjes (V) të kutisë,

grupi i dytë i lartpërmendur i ndarjeve (3) është në drejtimin ortogonal në lidhje me të paktën një paret anësor (10, 11) të kutisë së pajisur me vrimat e përmendura (2) dhe

grupi i dytë i përmendur i ndarjeve (3) është i spostuar në lidhje me të përmendurin grupi i parë i ndarjeve (3).

2. Grupi gjenerator (200) sipas pretendimit 1, ku ndarjet (3) të grupit të dytë të ndarjeve (3) shtrihen në plane vertikale që kalojnë në boshllëqet midis ndarjeve (3) të grupit të parë të ndarjeve (3).

3. Grupi gjenerator (200) sipas pretendimit 1 ose 2, ku distanca (d) midis dy ndarjeve ngjitur (3) të të paktën një grupi ndarjesh (3) është midis 1 cm dhe 15 cm.

(11) **11099**

(97) EP3701214 / 18/05/2022

(96) 18779054.8 / 14/09/2018

(22) 29/06/2022

(21) AL/P/ 2022/340

(54) **Përdorimi i materialit për maskimin e një objekti dhe municioni për shpërndarjen e një materiali të tillë maskues**

22/09/2022

(30) 201705755 23/10/2017 BE

(71) Mecar, Société Anonyme

Rue Grinfaux 50, 7181 Seneffe (Petit-Roeulx-les-Nivelles), BE

(72) PERROT, Nicolas (Rue Léon Baguet, 7191 Ecaussinnes)

(74) Eno Dodbiba

RR."Naim FRASHERI" P.60/3, Shk.1, Ap.16, Tiranë

(57)

1. - Përdorimi i oksihidroksidit të aluminit, si boehmiti ose pseudoboehmiti, si një material maskues (3) i cili shpërndahet nga një municion (1) ose një lëshues për të maskuar një objektiv në lidhje me rrezatimin elektromagnetik në një interval të caktuar gjatësie vale.

2. - Përdorimi sipas pretendimit 1 për maskimin e një objekti për një interval të gjatësive të valëve infra të kuqe, e karakterizuar në atë që oksihidroksidi i aluminit opsionalisht mund të përdoret në një formë pluhuri të ngjeshur, madhësia e grimcave është midis 1 dhe 100 mikrometra, me të paktën 90% të kokrrizave (G1, G2) të materialit maskues (3) me një diametër mesatar midis 25 dhe 35 mikrometra.

3. - Përdorimi sipas pretendimit 1 ose 2 për maskimin e një objekti për rrezatim elektromagnetik në brezin e gjatësive të valëve infra të kuqe nga 8 deri në 14 mikrometra, në brezin e gjatësive të valëve infra të kuqe nga 3 në 5 mikrometra dhe në brezin e dukshëm.

4. - Përdorimi sipas secilit prej pretendimeve të mësipërme, karakterizuar në atë që oksihidroksidi i aluminit është i shpërndarë në formën e një reje.

5. - Përdorimi sipas pretendimit 2 ose 3, i karakterizuar në atë që oksihidroksidi i aluminit shpërndahet me anë të një municioni shpërthyes që përmban një pluhur oksihidroksid alumini opsionalisht të ngjeshur.

6. - Municioni maskues që përbëhet nga një shtresë e cila përmban një material maskues (3) dhe një ngarkesë dispersioni piroteknik (4) që mund të aktivizohet nga një siguresë (5), e karakterizuar në atë që materiali maskues (3) përmban të paktën një oksihidroksid alumini siç është boehmiti ose pseudoboehmiti.

7. - Municioni maskues sipas pretendimit 6, karakterizuar në atë që materiali maskues (3) përbëhet kryesisht nga oksihidroksid alumini.
8. - Municioni maskues sipas pretendimit 6 ose 7, i cili është efektiv në një interval të gjatësive të valës infra të kuqe dhe në intervalin e dukshëm, karakterizuar në atë që oksihidroksidi i aluminit është një pluhur, madhësia e grimcave të së cilit është midis 1 dhe 100 mikrometra me të paktën 90% të kokrrizave (G1, G2) të materialit maskues (3) me një diametër mesatar midis 25 dhe 35 mikrometra.
9. - Municioni maskues sipas secilit prej pretendimeve 6 deri në 8, i cili është efektiv në një interval gjatësie vale infra të kuqe, të karakterizuar në atë që oksihidroksidi i aluminit ka një madhësi grimce të kokrrave (G1, G2) në formën e pllakëzave ose si flokë dëbore ose në formën e sferave që kanë një prerje qëndrore (G3).
10. - Municioni maskues sipas pretendimit 8 ose 9, karakterizohet në atë që kokrrat (G1, G2) të oksihidroksidit të aluminit janë të veshura me një lëndë lidhëse.
11. - Municioni maskues sipas pretendimit 10, karakterizuar në atë që lënda lidhëse përmban alkool polivinil (PVA).
12. - Municioni maskues sipas pretendimit 11, karakterizuar në atë që lënda lidhëse përmban alkool polivinil (PVA) në një raport prej 1% deri në 4% të masës.
13. - Municioni maskues sipas secilit prej pretendimeve 8 deri në 12, karakterizuar në atë që është në formën e një blloku pluhuri të ngjeshur.
14. - Municioni maskues sipas secilit prej pretendimeve 6 deri në 13, karakterizuar në atë që ngarkesa piroteknike e shpërndarjes (4) përbëhet nga të paktën një material shpërthyes i vendosur në një shufër dispersioni (6) i cili është i mbyllur në fundin (6a) të tij dhe është larg nga siguresa (5), shufra e dispersionit (6) shtrihet në mënyrë aksiale në materialin maskues (3) dhe në boshtin e municionit.
15. - Municioni maskues sipas pretendimit 14, karakterizuar në atë që shufra e shpërndarjes (6) është një shufër metalike.
16. - Municioni maskues sipas pretendimit 14 ose 15, karakterizuar në atë që materiali maskues (3) është i mbyllur në kasën (2) nga një bazë (14) që mbyll kasën (2) në pjesën e saj të pasme dhe gjatësia e shufrës së dispersionit (6) është e tillë që të mbetet një distancë boshtore (D) ndërmjet shufrës (6) dhe bazës (14).
17. - Municioni maskues sipas pretendimit 16, karakterizuar në atë që distanca (D) ndërmjet shufrës (6) dhe bazës (14) është të paktën e barabartë me gjysmën e diametrit të brendshëm (d) të kasës (2).
18. - Municioni maskues sipas secilit prej pretendimeve 14 deri në 17, karakterizuar nga fakti se materiali shpërthyes i ngarkesës së shpërndarjes piroteknike (4) përbëhet nga tableta të një eksplozivi që kombinon heksogen dhe dyll ose një eksploziv të përbërë.



19. - Municioni maskues sipas pretendimit 18, karakterizuar në atë që sasia e eksplozivit të ngarkesës së shpërndarjes (4) është e mjaftueshme për të çarë si shufrën (6) dhe kasën (2).

20. - Municioni maskues sipas secilit prej pretendimeve 13 deri në 19, karakterizuar në atë që materiali maskues (3) përmban të paktën një bllok të ngjeshur direkt brenda kasës (2) dhe rreth shufrës së shpërndarjes (6).

21. - Municioni maskues sipas pretendimit 20, karakterizuar në atë që materiali maskues (3) është i ngjeshur brenda kasës (2) pa përdorimin e një lidhësi.

(11) **11100**

(97) EP3086793 / 11/05/2022

(96) 14874617.5 / 23/12/2014

(22) 04/07/2022

(21) AL/P/ 2022/346

(54) **PËRDORIMI I SULFATEVE TË KOLESTEROLIT TË OKSIGJENUAR (OCS) PËR TRAJTIMIN E FUNKSIONIMIT JO-NORMAL TË VESHKAVE**

22/09/2022

(30) 201361920617 P 24/12/2013 US

(71) Virginia Commonwealth University; Durect Corporation and The United States Government as Represented by the Department of Veterans Affairs

800 East Leigh Street Suite 3000, Richmond, VA 23298, US; 10260 Bubb Road, Cupertino, CA 95014, US ;810 Vermont Avenue, N.W., Washington, DC 20420, US

(72) REN, Shunlin (1201 Broad Rock Blvd., Research 151, Richmond, VA 23249); THEEUWES, Felix (27350 Altamont Road, Los Altos Hills, CA 94022); BROWN, James E. (126 Blueberry Hill Drive, Los Gatos, CA 95032) ;LIN, WeiQi (590 California Way, Emerald Hills, VA 94062)

(74) Vjollca Kryeziu

Rruga Idriz Dollaku, Pall.5, Shk.2, Ap.39, Tiranë, KUTIA POSTARE 8198, Tiranë

(57)

1. 5-cholesten-3, 25-diol, 3-sulfate (25HC3S) ose një kripë farmaceutikisht e pranueshme e saj, për t'u përdorur në një metodë për parandalimin ose trajtimin e funksionimit jo-normal të veshkës apo insuficiencës renale tek një subjekt në nevojë, metodë kjo e cila përfshin marrjen (përdorimin) nga subjekti e një sasive prej 5-cholesten-3, 25-diol, 3-sulfate (25HC3S) ose një kripë farmaceutikisht të pranueshme të saj që është e mjaftueshme për të parandaluar ose trajtuar funksionimin jo-normal të veshkës ose insuficiencën renale.
2. 5-cholesten-3, 25-diol, 3-sulfate (25HC3S), ose një kripë farmaceutikisht e pranueshme e saj, për përdorimin e pretendimit 1, ku funksionimi jo-normal i veshkës apo insuficiencia renale shkaktohet nga acetaminofeni (ATMP).
3. 5-cholesten-3, 25-diol, 3-sulfate (25HC3S), ose një kripë farmaceutikisht e pranueshme e saj, për përdorimin e pretendimit 2, ku 25HC3S merret brenda një jave nga përdorimi i ATMP.
4. 5-cholesten-3, 25-diol, 3-sulfate (25HC3S), ose një kripë farmaceutikisht e pranueshme e saj, për përdorimin e pretendimit 1, ku funksionimi jo-normal i veshkës apo insuficiencia renale është insuficiencë renale akute dhe ku kjo insuficiencë renale akute shkaktohet nga acetaminofeni (ATMP).

5. 5-cholesten-3, 25-diol, 3-sulfate (25HC3S), ose një kripë farmaceutikisht e pranueshme e saj, për përdorimin e pretendimit 1, ku funksionimi jo-normal i veshkës apo insuficienca renale është dëmtim ichemia-reperfusion i veshkës.
6. 5-cholesten-3, 25-diol, 3-sulfate (25HC3S), ose një kripë farmaceutikisht e pranueshme e saj, për përdorimin e pretendimit 1, ku funksionimi jo-normal i veshkës apo insuficienca renale shkaktohet nga ischemia.
7. 5-cholesten-3, 25-diol, 3-sulfate (25HC3S), ose një kripë farmaceutikisht e pranueshme e saj, për përdorimin e pretendimit 1, ku funksionimi jo-normal i veshkës apo insuficienca renale është dëmtim akut i veshkës (AKI).
8. 5-cholesten-3, 25-diol, 3-sulfate (25HC3S), ose një kripë farmaceutikisht e pranueshme e saj, për përdorimin e pretendimit 1, ku funksionimi jo-normal i veshkës apo insuficienca renale është sëmundje kronike e veshkës (CKD).

(11) **11104**

(97) EP3763939 / 29/06/2022

(96) 20465522.9 / 29/04/2020

(22) 22/07/2022

(21) AL/P/ 2022/370

(54) **SISTEM DHE METODË PËR PËRCAKTIMIN E SHTREMBËRIMIT TË PËRKULJES SË ERËS TË NJË TURBINE ME ERË ON-SHORE ME BOSHT HORIZONTAL**

29/09/2022

(30)

(71) Ovidiu Development S.A.

Str. Ion Ionescu de la Brad, nr. 2B, sector 1, Bucharest, RO

(72) SOPOGLU, Laurentiu - Dragos (bd. Aurel Vlaicu, nr. 19, bl. B2, sc. C, et.3, ap. 50, Constanta, Jud. Constanta) ;CRISTIAN, Liviu (str. Dezrobirii, nr. 118, bl. IS5, et. 3, ap. 40, Constanta, Jud. Constanta)

(74) Vjollca Kryeziu

Rruga Idriz Dollaku, Pall.5, Shk.2, Ap.39, Tiranë, KUTIA POSTARE 8198

(57)

1. Sistem për përcaktimin e keqvendosjes së daljes nga kursi i erës i një turbine me erë on-shore (tokësore) me bosht horizontal (T), që përfshin turbinën me erë (T), turbinë me erë (T) e cila përmban një shumicë fletësh të rotorit (1), një bucelë të rrotës së rotorit (2) të vendosur në lartësinë e rrotës (HH), një bosht të rotorit (3) me një aks horizontal të boshtit të rotorit (3), një kabinë (4), një ndërshtyllë (5) me një bazament të ndërshtyllës, *karakterizuar në atë që:*

-turbina me erë në fjalë (T) përfshin edhe një çift pikash shënjuese (targetuese) X dhe Y në faqen e jashtme të kabinës (4) në anën përballë tokës, e përshtatur në atë mënyrë që pozicionet gjeografike të jenë të përcaktueshme nga një qendër topografike (S), dhe si e tillë që segmenti XY që lidh pikat shënjuese X dhe Y korrespondon me aksin gjatësor të faqes në fjalë të kabinës (4) përballë tokës, ku pika shënjuese X është vendosur në ekstremin e kabinës (4) përkundrajt numrit të madh të fletëve të rotorit (1) dhe pika shënjuese Y është vendosur menjëherë pranë ndërshtyllës (5);  
ku turbina (T) ka një pozicion reference të turbinës, ku boshti i rotorit (3) ka një pozicion reference të aksit horizontal të boshtit të rotorit (3), në të cilin sistemi përfshin edhe:

-një lidar me bazë tokën (L), i vendosur me aksin e tij të

orientuar vertikalisht, ku ky lidar (L) përfshin një njësi të llogaritjes dhe matjes së lidarit (LMCU), dhe njësia në fjalë e llogaritjes dhe matjes së lidarit (LMCU) është e konfiguruar për:

- për të përcaktuar një kënd  $\theta$  të drejtimit të erës në lidhje me Veriun Gjeografik në mënyrë thelbësore në lartësinë e bucelës së rrotës (HH);
- për të përcaktuar shpejtësinë e erës *vat* në mënyrë thelbësore në lartësinë e bucelës së rrotës;
- për të dërguar nëpërmjet rrjetit të telekomunikimit (N) drejt njësisë së jashtme kompjuterike (EC) rezultatet e përcaktimeve;

*në të cilën* lidari (L) ka një pozicion reference të lidarit (B) ku lidari (L) është vendosur në tokë përballë turbinës (T) në pozicionin referencë të turbinës në projektion në tokë të pozicionit referencë të aksit horizontal të boshtit të rotorit (3), në një distancë  $d_1$  nga projektioni në tokë (C1) i një pike ekstreme (C) i bucelës së rrotës (2), dhe *ku* kabina (4) është e lëvizëshme në vartësi të drejtimit të erës ndaj një shumice pozicionesh i në secilën anë të projektionit në tokë të pozicionit referencë të aksit horizontal të boshtit të rotorit (3) dhe projektionin në tokë të aksit horizontal të boshtit të rotorit (3) që korrespondon me secilin prej numrit të madh të pozicioneve i,

-qendra topografike me bazë tokën (S), që përbën një njësi llogaritëse dhe matëse të qendrës topografike (SMCU), e cila njësi llogaritëse dhe matëse e qendrës topografike (SMCU) është konfiguruar:

- për të përcaktuar të paktën pozicionin gjeografik të çiftit të pikave targetuese X dhe Y;
- për të dërguar nëpërmjet rrjetit të telekomunikimit (N) të njësisë së jashtme kompjuterike (EC) rezultatet e përcaktimeve;

-*ku* qendra topografike tokësore (S) është vendosur në njerin prej dy pozicioneve referencë të qendrës topografike (D)' dhe (D)'' prapa bucelës së rotorit (2) dhe në anë në lidhje me projektionin në tokë të aksit horizontal të pozicionit të referencës të boshtit të rotorit (3) në një distancë  $d_2$  nga baza e shtyllës (5), në mënyrë të atillë që, kur kabina është e lëvizëshme në vartësi të drejtimit të erës:

-fletët e rotorit (1) nuk interferojnë në rrezet lazer të njësisë llogaritëse dhe matëse të qendrës topografike (SMCU), dhe  
-njësia e llogaritjes dhe matjeve e qendrës topografike (SMCU) të jetë e aftë të përcaktojë pozicionin gjeografik të çiftit të pikëve targetuese X dhe Y të kabinës (4)n gjatë lëvizjes së kabinës në fjalë (4) drejt numrit të madh të pozicioneve i,

-njësia e jashtme kompjuterike (EC) është e konfiguruar:

-për të marrë të dhënat e informacionit nëpërmjet rrjetit të telekomunikimit (N) si:

-këndin  $\theta$  të drejtimit të erës nga njësia e llogaritjes dhe matjes së lidarit (LMCU);

-pozicionin gjeografik të çiftit të pikave targetuese X dhe Y, nga njësia e llogaritjes dhe matjes e qendrës topografike (SMCU);

dhe të depozitohet të dhënat e informacionit të marrë;

-të përcaktojë një kënd  $\varepsilon$  të orientimit të kabinës (4) në lidhje me Veriun Gjeografik bazuar në pozicionin gjeografik të çiftit të pikave shenjuese X dhe Y, dhe të depozitohet çdo përcaktim;

-të përcaktojë një kënd të përshtatur  $\theta_{adj}$  të drejtimit të erës;

-të mesatarizojë këndin e përshtatur  $\theta_{adj}$  të drejtimit të erës dhe

shpejtësisë së erës  $v$ , të verifikojë nëse shpejtësia mesatare e erës  $v_{avg}$  është përfshirë në intervalin e parapërcaktuar të shpejtësisë së erës  $v_1-v_2$  për të cilën keqvendosja e daljes nga kursi i erës mund të përcaktohet,

dhe të depozitohet këndin mesatar  $\theta_{avg}$  të drejtimit të erës dhe shpejtësinë mesatare të erës  $v_{avg}$ ;

-të përcaktojë një keqvendosje të daljes nga kursi i erës  $\sigma$  i turbinës T në lidhje me drejtimin e erës dhe të depozitohet çdo përcaktim;

-të përcaktojë një keqvendosje mesatare të daljes nga kursi i erës  $\sigma_{avg}$  i turbinës (T) në lidhje me drejtimin e erës që korrespondon me zgjatjen (vazhdimin)  $\Delta t$ , të depozitohet këtë keqvendosje mesatare të daljes nga kursi i erës  $\sigma_{avg}$  dhe të krahasojë keqvendosjen mesatare në fjalë të daljes nga kursi i erës  $\sigma_{avg}$  me pragun e keqvendosjes të parapërcaktuar,

-rrjeti i telekomunikimit N i konfiguruar për:

-të siguruar komunikimin ndërmjet njësisë së jashtme kompjuterike (EC) dhe njësisë së llogaritjes dhe matjeve të lidarit (LMCU) dhe qendrës topografike (S)

ku sistemi është konfiguruar në mënyrë të atillë që njësia e jashtme kompjuterike (EC) të jetë e aftë të përcaktojë keqvendosjen e daljes nga kursi të erës  $\sigma_{avg}$  të turbinës (T) në lidhje me drejtimin e erës bazuar në përcaktimet e marra nga qendra topografike tokësore (S) dhe lidari tokësor (L).

2. Sistemi i pretendimit 1 ku, nëse numri i përcaktimeve të njësisë së llogaritjes dhe matjes të qendrës topografike (SMCU) është më i madh se një prag kohor i para-përcaktuar, sistemi do të përfshijë edhe një njësi llogaritëse të turbinës (TCU), e turbinës (T), ku kjo njësi llogaritëse e turbinës në fjalë (TCU) është e konfiguruar për të përcaktuar një kënd të mesatarizuar  $\omega_{avg}$  të pozicionit të kabinës (4) në lidhje me Veriun Gjeografik dhe e konfiguruar për të dërguar rezultatin e përcaktimeve të rrjetit të telekomunikimit N,

-njësia e jashtme kompjuterike (EC) është e konfiguruar edhe për:

-të marrë nëpërmjet rrjetit të telekomunikimit (N) këndin mesatar  $\omega_{avg}$  të pozicionit të kabinës (4);

-për të përcaktuar një kënd korigjimi të mesatarizuar  $k_{avg}$  të kabinës (4), me qëllim korigjimin e pozicionit të kabinës në fjalë (4), dhe për të depozituar (ruajtur) çdo përcaktim;

- për të përcaktuar një kënd të korigjuar  $\varepsilon_k$  të pozicionit të kabinës (4), në lidhje me Veriun Gjeografik, dhe për të depozituar çdo përcaktim;

-për të përcaktuar një kënd të përshtatur  $\epsilon_{adj}$  të orientimit të kabinës (4) në lidhje me Veriun Gjeografik, dhe për të depozituar çdo përcaktim,

-rrjeti i telekomunikimit N është konfiguruar edhe për të

-siguruar komunikimin ndërmjet njësisë së jashtme kompjuterike (EC) dhe njësisë kompjuterike së turbinës (TCU).

3. Sistemi i pretendimit 2, *ku* njësia matëse e turbinës (TMU) është një anemometër ultrasonik.
4. Sistemi i pretendimeve 1 ose 2, ose 3 *ku* distanca  $d_1$  varet nga vlera e një këndi  $\lambda$  i rrezatimit të rrezes lazer që rrotullohet (vërtitet) rreth aksit vertikal (AB) të lidarit (L), dhe nga vlera e lartësisë së bucelës së rrotës (HH), duke përdorur ekuacionet:

$$d_{1min} = tg(\lambda) * HH \quad [Eq.1]$$

$$d_{1max} = tg(\lambda) * 2 * HH \quad [Eq.2]$$

5. Sistemi i çdonjerit prej pretendimeve 1 deri 4, *ku* distanca  $d_2$  varet nga lartësia e bucelës së rrotës (HH) dhe në aftësinë e njësisë llogaritëse dhe matëse të qendrës topografike (SMCU) për të përcaktuar pozicionin gjeografik të pikave X dhe Y, duke përdorur ekuacionin:

$$d_{2min} = 2 * HH \quad [Eq.3],$$

ku 2 është një konstante.

6. Metodë për përcaktimin e keqvendosjes të daljes nga kursi i erës i turbinës me erë on-shore me aks horizontal (T) duke përdorur sistemin sipas çdonjerit prej pretendimeve 1 deri 5, **karakterizuar në atë që** ajo, metoda, përfshin hapat e mëposhtëme për t'u kryer gjatë zgjatjes kohore  $\Delta t$ :

S1 (Hapi 1): Përcaktimi për një numër  $n$  herësh, nga njësia llogaritëse dhe matëse e lidarit (LMCU), e lidarit me bazë në tokë (L), i këndit  $\theta$  i drejtimit të erës në lidhje me Veriun Gjeografik në mënyrë thelbësore në lartësinë e bucelës (HH),

përcaktimi nga njësia llogaritëse dhe matëse e lidarit (LMCU), i shpejtësisë së erës  $v$  në mënyrë thelbësore në lartësinë e bucelës (HH), dhe dërgimi, nga njësia llogaritëse dhe matëse e lidarit (LMCU), i rezultateve të përcaktimeve tek njësia kompjuterike e jashtme (EC) nëpërmjet rrjetit të telekomunikimit (N); përcaktimi për një numër  $m$  herësh, nga njësia llogaritëse dhe matëse e qendrës topografike (SMCU), i të paktën të pozicionit gjeografik të çiftit të pikave targetuese X dhe Y, dhe dërgimi i rezultateve të përcaktimeve tek njësia e jashtme kompjuterike (EC) nëpërmjet rrjetit të telekomunikimit (N),

S2 (Hapi 2) Marrja nga njësia e jashtme kompjuterike (EC) e të dhënave të informacionit nëpërmjet rrjetit të telekomunikimit (N) si: këndi  $\theta$  i drejtimit të erës, dhe të paktën

pozicioni gjeografik i çiftit të pikave targetuese X dhe Y, dhe ruajtja e të dhënave të informacionit,

S3(Hapi 3) Përcaktimi nga njësia e jashtme kompjuterike (EC) i këndit  $\epsilon$  i orientimit të kabinës (4) në lidhje me Veriun Gjeografik bazuar në pozicionin gjeografik të çiftit të pikave targetuese X dhe Y, dhe depozitimi i rezultatit të këtij hapi,

S4(Hapi 4) Aplikimi i kushtit të validimit duke kontrolluar nëse këndi  $\theta$  i drejtimit të erës ka një vlerë që është e përfshirë brenda vlerave të një intervali të mbyllur të përcaktuar nga vlera maksimale e para-përcaktuar  $\alpha_{max}$  e këndit  $\alpha_i$ , në çdo anë (faqe) të pozicionit referencë të aksit horizontal të boshtit të rotorit 3, përzgjedhja vetëm e vlerave të këndit  $\theta$  të drejtimit të erës që plotësojnë kushtet e validimit në fjalë, përcaktimi i një këndi të përshtatur  $\theta_{adj}$  i drejtimit të erës për secilën nga vlerat e vërtetuara duke përdorur një kusht të parë të trëndafilimit të erës, dhe depozitimi i rezultatit të këtij hapi,

S5(Hapi 5) Llogaritja e një mesatareje nga njësia llogaritëse e jashtme (EC) për një zgjatje mesatare  $\Delta t$ , ku  $\Delta t < \Delta t$ , e këndit të përshtatur  $\theta_{adj}$  i drejtimit të erës dhe i shpejtësisë së erës  $v$ , duke rezultuar me këndin mesatar  $\theta_{avg}$  të drejtimit të erës dhe të shpejtësisë mesatare të erës  $v_{avg}$ , verifikimi në se shpejtësia e mesatarizuar e erës  $v_{avg}$  është e përfshirë brenda intervalit të parapërcaktuar të shpejtësisë së erës  $v_1-v_2$  për të cilën është aplikuar metoda e hapave të mëposhtëme, dhe depozitimi i rezultatit të këtij hapi,

S6(Hapi 6) Përcaktimi nga njësia kompjuterike e jashtme (EC) i keqvendosjes të kursit të erës  $\sigma$  i turbinës (T) në lidhje me drejtimin e erës si një diferencë midis këndit të mesatarizuar  $\theta_{avg}$  të drejtimit të erës dhe këndit  $\epsilon$  të orientimit të kabinës (4), duke përdorur ekuacionin

$$\sigma = \theta_{avg} - \epsilon \text{ [Eq.4]},$$

dhe depozitimi i rezultatit të këtij hapi,

S7(Hapi 7) Përcaktimi nga njësia kompjuterike e jashtme (EC) e përfundimit të zgjatjes (vazhdimit)  $\Delta t$ , e keqvendosjes të kursit të erës të mesatarizuar  $\sigma_{avg}$  e turbinës (T) në lidhje me drejtimin e erës që korrespondon me vazhdimin në fjalë  $\Delta t$  si një mënyrë arithmetike e numrit të madh të vlerave të keqvendosjes të kursit të erës  $\sigma$  gjatë vazhdimit  $\Delta t$ , depozitimi i keqvendosjes mesatare  $\sigma_{avg}$  i turbinës (T) si rezultat i metodës dhe krahasimi i keqvendosjes mesatare në fjalë  $\sigma_{avg}$  me pragun e keqvendosjes të para-përcaktuar me qëllim që të kontrollohet në se ri-vendosja e turbinës drejt erës (T) duhet të kryhet.

7. Metodë sipas pretendimit 6, ku, në se numri i përcaktimeve të njësive llogaritëse dhe matëse i qendrës topografike (SMCU) është më i madh se një prag intervali kohor i para-përcaktuar, me qëllim përmirësimin e saktësisë së përcaktimit të keqvendosjes së kursit  $\sigma$  të turbinës (T), në S6 është përdorur një kënd i përshtatur  $\epsilon_{adj}$  i orientimit të kabinës (4) në vend të këndit  $\epsilon$  i orientimit të kabinës (4), metodë e cila përfshin:

i. Një nën-hap shtesë në hapin 1:

S1A Përcaktimi i këndeve mesatare  $\omega_{avg}$  të pozicionit të kabinës 4 në lidhje me Veriun Gjeografik nga njësia llogaritëse e turbinës TCU dhe dërgimi i tyre tek njësia kompjuterike e jashtme EC nëpërmjet rrjetit të telekomunikimit N,

ii. Një nën-hap shtesë në hapin 2:

S2A Marrja nga ana e njësisë kompjuterike të jashtme (EC) nga njësia llogaritëse e turbinës (TCU) e këndit të mesatarizuar  $\theta_{avg}$  i pozicionit të kabinës (4) nëpërmjet rrjetit të komunikimit (N);

iii. Tre hapa shtesë midis (ndërmjet) hapit 5 dhe hapit 6 për përcaktimin e këndit të përshtatur  $\varepsilon_{adj}$ :

S 5.1. Përcaktimi i një këndi mesatar korigjimi  $k_{avg}$  i kabinës 4 nga njësia kompjuterike e jashtme (EC) për korigjimin e pozicionit të kabinës në fjalë 4, në lidhje me Veriun Gjeografik, si një mesatare e shumësisë së këndeve të korigjimit të kabinës  $k$ , ku secili nga këndet e korigjimit të kabinës  $k$  përcaktohen duke përdorur ekuacionin:

$$k = \varepsilon - \omega_{avg} \text{ [Eq.5]}$$

dhe depozitimi i rezultatit të këtij hapi.

S.5.2. Përcaktimi i një këndi të korigjuar  $\varepsilon_k$  i pozicionit të kabinës (4) nga njësia kompjuterike e jashtme (EC), ku këndi i korigjuar në fjalë  $\varepsilon_k$  përfaqëson rezultatit e korigjimit të këndit të mesatarizuar  $\omega_{avg}$  të pozicionit të kabinës 4 me këndin e korigjimit të mesatarizuar të kabinës  $k_{avg}$  duke përdorur ekuacionin:

$$\varepsilon_k = k_{avg} + \omega_{avg} \text{ [Eq.6]}$$

dhe depozitimi i rezultatit të këtij hapi,

S.5.3. Aplikimi i kushtit të validimit duke kontrolluar nëse këndi i korigjuar  $\varepsilon_k$  i pozicionit të kabinës (4) ka një vlerë e cila përfshihet brenda vlerave të intervalit të mbyllur i përcaktuar nga vlera maksimale e para-përcaktuar  $\alpha_{max}$  e këndit  $\alpha_i$  në secilën prej anëve të pozicionit referencë të aksit horizontal të boshtit të rotorit (3), përzgjedhja vetëm e vlerave të këndit të korigjuar  $\varepsilon_k$  të pozicionit të kabinës (4) që përmbushin kushtin e validimit në fjalë, përcaktimi i një këndi të përshtatur  $\varepsilon_{adj}$  i pozicionit të kabinës (4) duke përdorur një kusht të dytë të trëndafililit të erës, dhe depozitimi i rezultatit të këtij hapi,

iv. Përdorimi i këndit të përshtatur  $\varepsilon_{adj}$  në vend të këndit  $\varepsilon$  të orientimit të kabinës (4) në hapin S6 për përcaktimin e keqvendosjes së kursit të erës  $\sigma$  duke përdorur ekuacionin:

$$\sigma = \theta_{avg} - \varepsilon_{adj} \text{ [Eq.4A]},$$

dhe depozitimi i rezultatit të këtij hapi.

8. Metodë e pretendimit *6 në të cilën* për çdo përcaktim të çastit të këndit të korigjimit të kabinës  $k$ , këndi i mesatarizuar i korigjimit  $k_{avg}$  i kabinës (4) kalkulohet (llogaritet) si një mënyrë arithmetike e numrit të madh të këndeve të korigjimit të kabinës  $k$  nga fillimi i metodës deri në dhe duke përfshirë edhe përcaktimin respektiv të çastit në fjalë të këndit të korigjimit të kabinës  $k$ .
9. Program kompjuterik që përmban instruksione të cilat, kur programi zbatohet nga njësia e jashtme kompjuterike (EC) e sistemit sipas çdonjerit prej pretendimeve 1 deri 5, bën që kompjuteri të zbatojë hapat e metodës përfshirë nga hapi 2 deri tek hapi 7, sipas çdonjerit prej pretendimeve 6 deri 8.
10. Njësia e jashtme kompjuterike (EC) e sistemit sipas çdonjerit prej pretendimeve 1 deri 5 që depoziton kështu programin kompjuterik të pretendimit 9.
11. Njësia e jashtme kompjuterike (EC), sipas pretendimit 10, ku njësia e jashtme kompjuterike (EC) është njësia kompjuterike e turbinës (TCU).

(11) **11103**

(97) EP3160471 / 01/06/2022

(96) 15811865.3 / 23/06/2015

(22) 28/07/2022

(21) AL/P/ 2022/377

(54) **Perberje oftalmike qe permbajne nje antagonist muskarinik dhe uje te deuteruar**

29/09/2022

(30) 201462016502 P 24/06/2014 US; 201462096433 P 23/12/2014 US; 201514726139 29/05/2015 US and 201562151926 P 23/04/2015 US

(71) Sydnexis, Inc.

445 Marine View Ave. Suite 295, Del Mar, CA 92014, US

(72) OSTROW, Gregory, I. (14051 Caminito Vistana, San Diego, CA 92130); WIDDER, Kenneth, J.

(P.O. Box 676250, Rancho Santa Fe, CA 92067) ;BAKER, David, S. (7205 Aviara Drive, Carlsbad, CA 92011)

(74) Raimonda KARAPICI

Rr. Ndreko Rino, Nd. 1, H. 34/Ap 28 Tiranë

(57)

1. Nje perberje oftalmike, qe permban 0.001 % ne peshe deri ne 0.05 % ne peshe antagonist muskarinik dhe uje te deuteruar, ne nje pD prej 4.2 deri ne 7.9, ku antagonistin muskarinik eshte atropine ose atropine sulfat.

2. Perberja oftalmike sipas pretendimit 1, ku perberja oftalmike ka nje pD prej: me pak se 7.3, me pak se 7.2, me pak se 7.1, me pak se 7, me pak se 6.8, me pak se 6.5, me pak se 6.4, me pak se 6.3, me pak se 6.2, me pak se 6.1, me pak se 6, me pak se 5.9, me pak se 5.8, me pak se 5.2, ose me pak se 4.8 pas nje periudhe te zgjatur kohore ne kushtet e ruajtjes.

3. Perberja oftalmike e cdonjerit prej pretendimeve 1-2, ku perberja oftalmike permban njerin prej: te pakten 80%, te pakten 85%, te pakten 90%, te pakten 93%, te pakten 95%, te pakten 97%, te pakten 98%, ose te pakten 99% antagonist muskarinik bazuar ne perqendrimin fillestar pas nje periudhe te zgjatur kohore ne kushtet e ruajtjes.



- 4.** Perberja oftalmike e cdonjerit prej pretendimeve 1-3, ku perberja oftalmike per me teper ka nje potence prej: te pakten 80%, te pakten 85%, te pakten 90%, te pakten 93%, te pakten 95%, te pakten 97%, te pakten 98%, ose te pakten 99% pas nje periudhe te zgjatur kohore ne kushtet e ruajtjes.
- 5.** Perberja oftalmike e cdonjerit prej pretendimeve 1-4, ku periudha kohore e zgjatur eshte nje prej: 1 jave, 2 jave, 3 jave, 1 muaj, 2 muaj, 3 muaj, 4 muaj, 5 muaj, 6 muaj, 8 muaj, 10 muaj, 12 muaj, 18 muaj, 24 muaj, 36 muaj, 4 vjet, ose 5 vjet.
- 6.** Perberja oftalmike e cdonjerit prej pretendimeve 1-5, ku konduita e ruajtjes ka nje temperature ruajtje prej nga 2 °C deri ne 10 °C ose nga 16 °C deri ne 26 °C.
- 7.** Perberja oftalmike e cdonjerit prej pretendimeve 1-6, ku antagonisti muskarinik ndodhet ne perberje ne nje perqendrim prej: nga 0.001 % ne peshe deri ne 0.03 % ne peshe, nga 0.001 % ne peshe deri ne 0.025 % ne peshe, nga 0.001 % ne peshe deri ne 0.02 % ne peshe, nga 0.001 % ne peshe deri ne 0.01 % ne peshe, nga 0.001 % ne peshe deri ne 0.008 % ne peshe, ose nga 0.001 % ne peshe deri ne 0.005 % ne peshe.
- 8.** Perberja oftalmike e cdonjerit prej pretendimeve 1-7, ku perberja oftalmike permban me tej: nje agjent rregullues osmolariteti, preferohet klorid sodiumi; nje ruajtjes, preferohet i zgjedhur nga benzalkonium klorid, cetrimonium, sodium perborate, kompleks oksikloro stabilizuar, SofZia, polikuaternium-1, klorobutanol, edetate disodium, polihekzaametilen biguanide, ose kombinime te tyre; nje agjent buffer, preferohet i zgjedhur nga borate, komplekse borate-poliol, agjente bufferues fosfate, citrate agjente bufferues, agjente bufferues acetate, agjente bufferues karbonate, agjente bufferues organike, agjente bufferues amino acid, ose kombinime te tyre; nje agjent pershtates toniciteti; ose nje kombinim i tyre.
- 9.** Perberja oftalmike e cdonjerit prej pretendimeve 1-8, ku perberja oftalmike eshte kryesisht pa procaine dhe benaktizine, ose kripera te tyre te pranueshme farmaceutikisht.
- 10.** Perberja oftalmike e cdonjerit prej pretendimeve 1-9, ku perberja oftalmike permban me tej nje agjent rregullues pH te zgjedhur nga acid hidroklorik i deuteruar (DCl), hidroksid sodium i deuteruar (NaOD), acid acetic i deuteruar (CD<sub>3</sub>COOD), dhe acid citric i deuteruar (C<sub>6</sub>D<sub>8</sub>O<sub>7</sub>).
- 11.** Perberja oftalmike e cdonjerit prej pretendimeve 1-9, ku perberja oftalmike permban me tej nje agjent rregullues pH te zgjedhur nga HCl, NaOH, CH<sub>3</sub>COOH, dhe C<sub>6</sub>H<sub>8</sub>O<sub>7</sub>.
- 12.** Perberja oftalmike e cdonjerit prej pretendimeve 1-11, ku perberja oftalmike permban njerin prej: me pak se 5% H<sub>2</sub>O, me pak se 4% H<sub>2</sub>O, me pak se 3% H<sub>2</sub>O, me pak se 2% H<sub>2</sub>O, me pak se 1% H<sub>2</sub>O, me pak se 0.5% H<sub>2</sub>O, me pak se 0.1% H<sub>2</sub>O, ose 0% H<sub>2</sub>O.
- 13.** Perberja oftalmike e cdonjerit prej pretendimeve 1-12, ku perberja oftalmike nuk eshte formuluar si nje formulim i injektueshem.
- 14.** Perberja oftalmike e cdonjerit prej pretendimeve 1-13, ku perberja oftalmike eshte formuluar si nje solucion oftalmik per trajtimin e nje crregullimi oftalmik te zgjedhur nga pre-miopia, miopia, ose progresion i miopise.
- 15.** Perberja oftalmike e cdonjerit prej pretendimeve 1-14, per perdorim ne nje metode ndalimi te zhvillimit te miopise ose parandalimi te zhvillimit te miopise, qe perfshin dhenien ne syrin e nje individi qe ka nevojte per te nje sasi efektive te perberjes se lartpermendur oftalmike.

**16.** Perberja oftalmike per perdorim sipas pretendimit 15, ku perberja oftalmike ruhet ne nje temperature ndermjet 2 °C deri ne 10 °C para se te perdoret per here te pare.

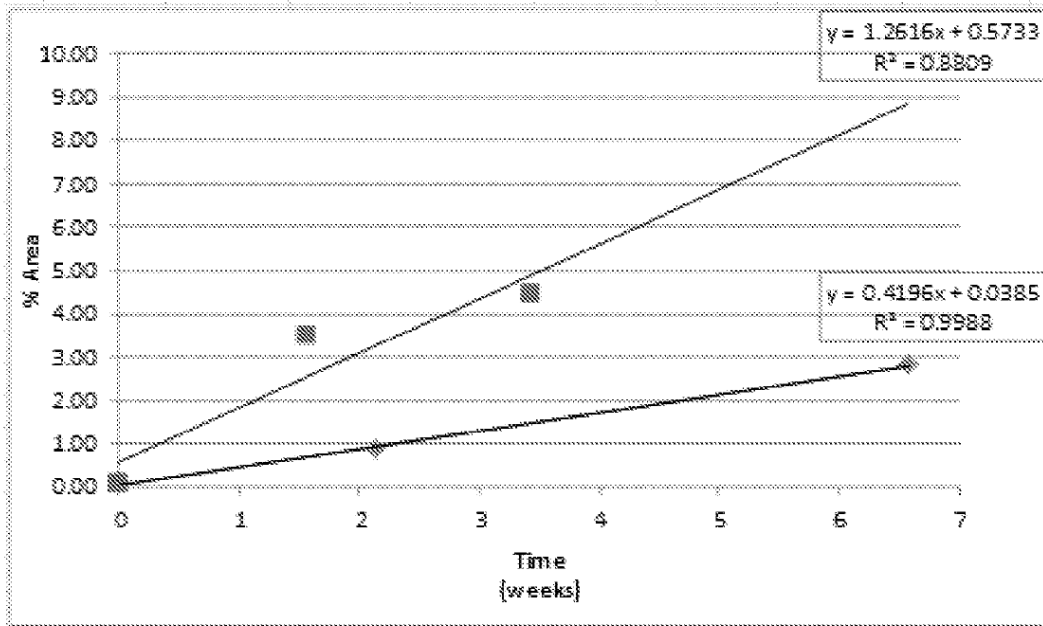
**17.** Perberja oftalmike per perdorim sipas pretendimit 15, ku perberja oftalmike ruhet ne nje temperature ndermjet 16 °C deri ne 26 °C pas perdorimit per here te pare.

**18.** Perberja oftalmike per perdorim sipas pretendimit 15, ku perdorimi behet ne nje metode te reduktimit te nje shkalle te rritur te miopise.

**Fig. 1A**

		Weeks					
	Temp (°C)	0	1	1.571429	2.142857	3.428571	6.571429
T1	25	0.08			0.88		2.81
T2	40	0.08		3.47		4.48	

**Fig. 1B**



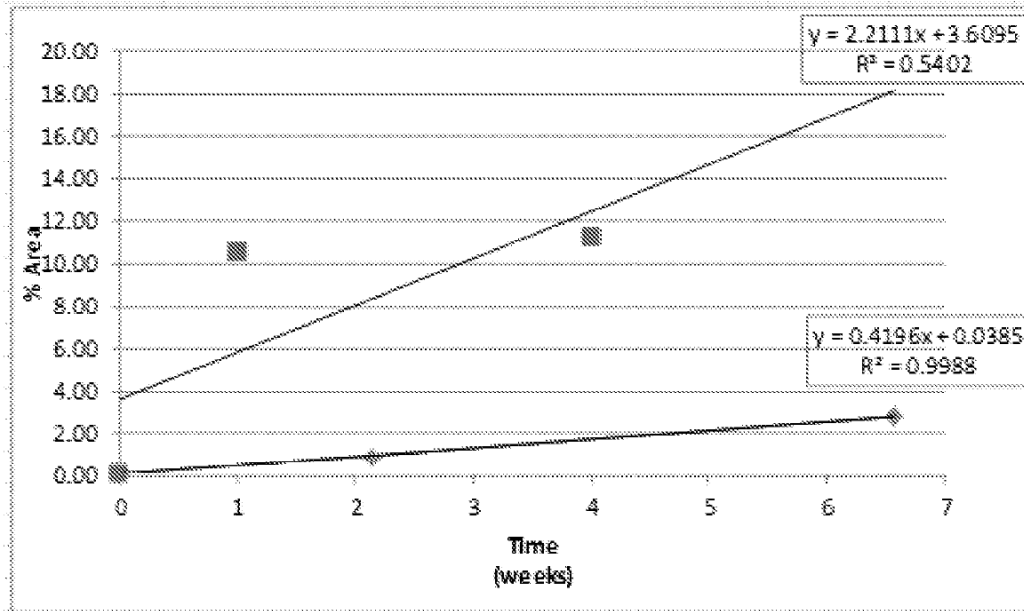
**Fig. 1C**

Formulation:		Average of Analysts		
Stability Prediction:		RRT 0.87		
	spec limit:	0.50	% (not more than)	
			<b>shelf life</b>	
			weeks	months
rate	1.24844 at 40C		0.4	0.1
rate	0.60617 at 30C		0.8	0.2
rate	0.41477 at 25C		1.2	0.3
rate	0.07932 at 2-8C		6.3	1.6
rate	0.00894 at -20C		N/A	N/A

**Fig. 2A**

		Weeks				
	Temp (°C)	0	1	2.142857	4	6.571429
T1	25	0.08		0.9		2.8
T2	60	0.08	10.5		11.3	

**Fig. 2B**



**Fig. 2C**

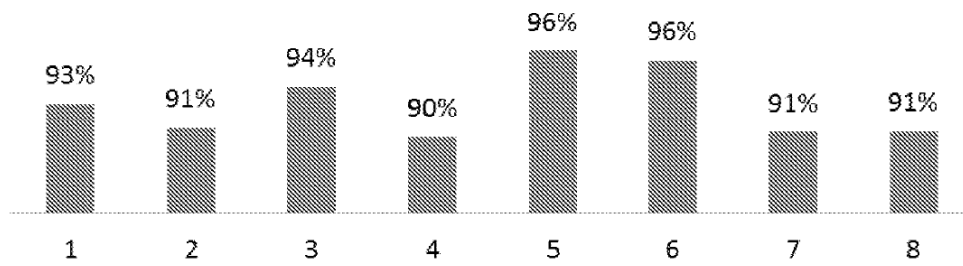
Formulation:		Average of Analysts	
Stability Prediction:		RRT 0.87	
spec limit:	0.50	% (not more than)	
shelf life			
		weeks	months
rate	0.88876 at 40C	0.6	0.1
rate	0.54051 at 30C	0.9	0.2
rate	0.41627 at 25C	1.2	0.3
rate	0.13331 at 2-8C	3.8	0.9
rate	0.02493 at -20C	N/A	N/A

Fig. 3

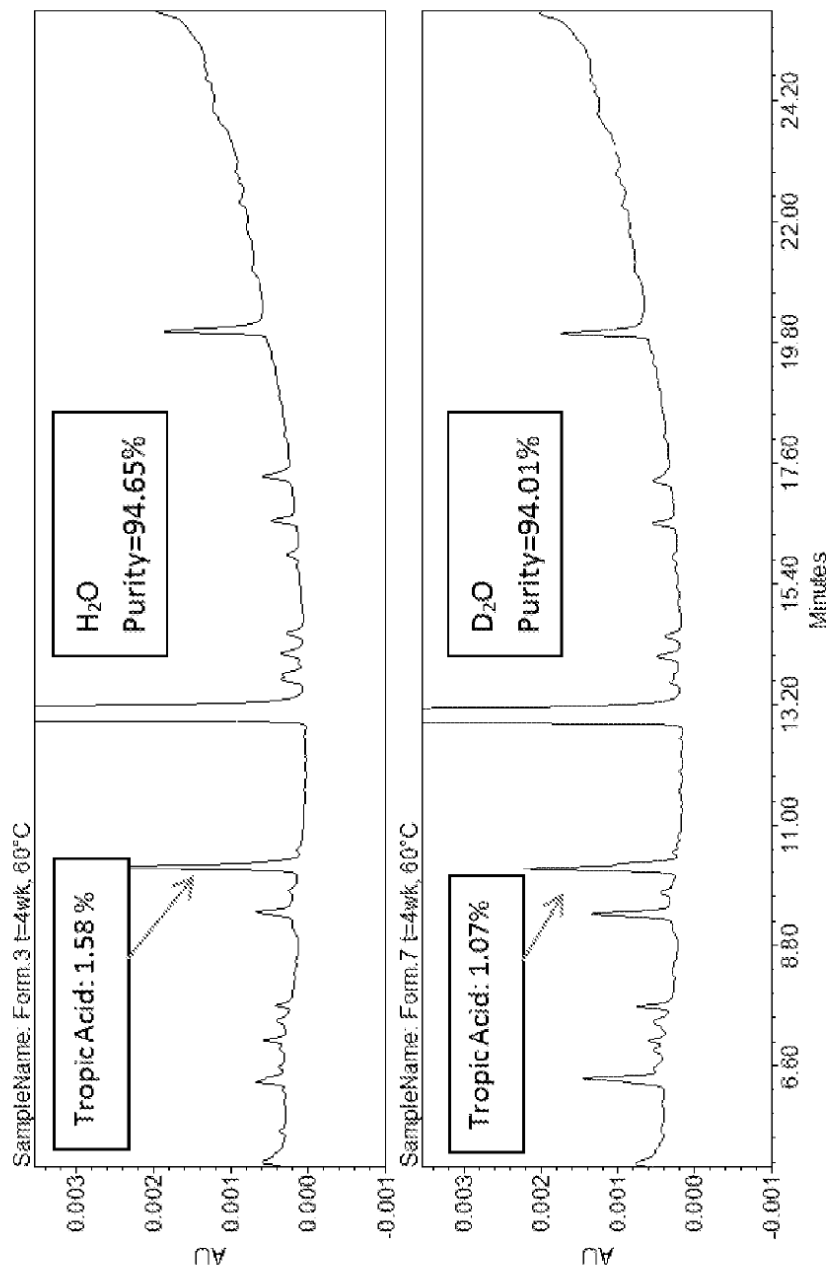
---

### Mass Balance, 60 °C, T = 4 weeks

■ Mass Balance



**Fig. 4**



**Fig. 5**

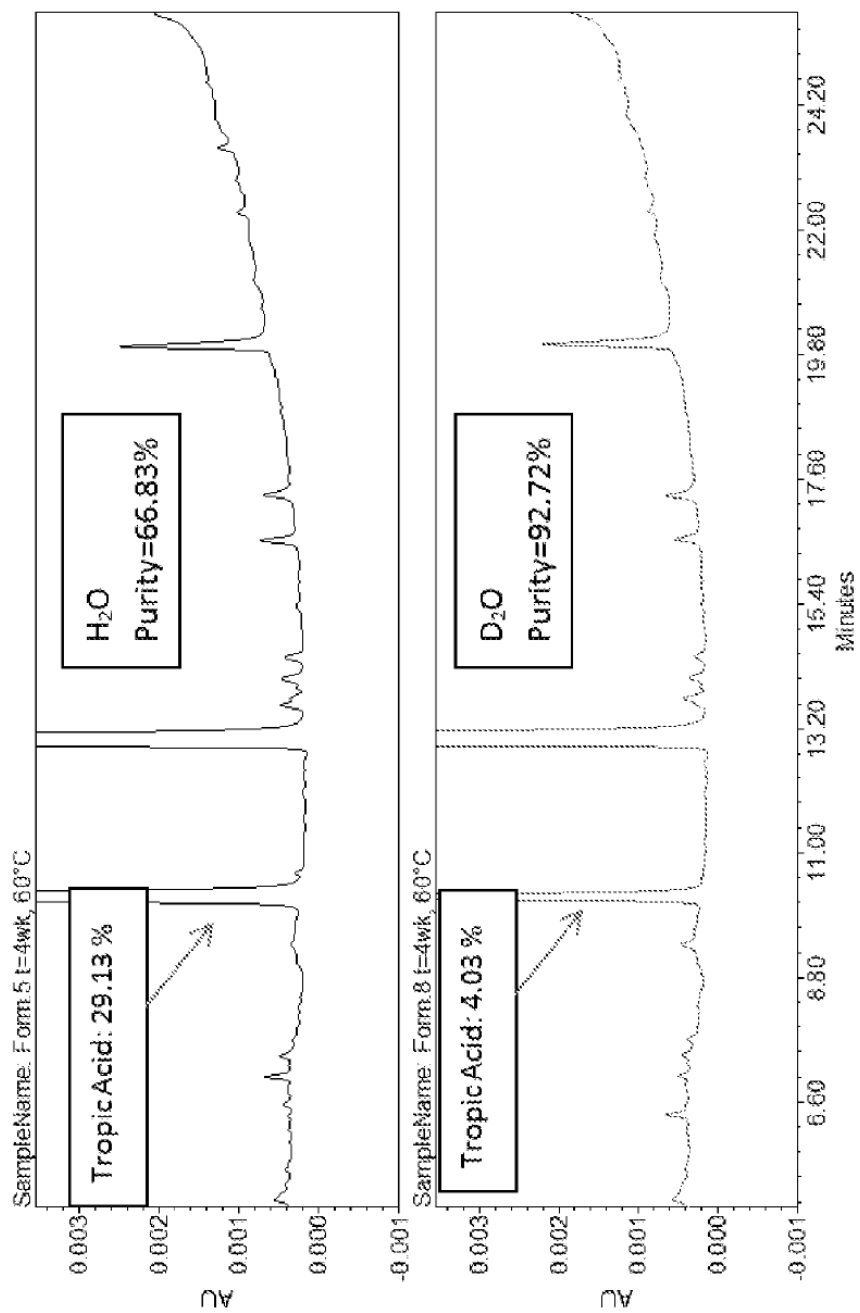


Fig. 6

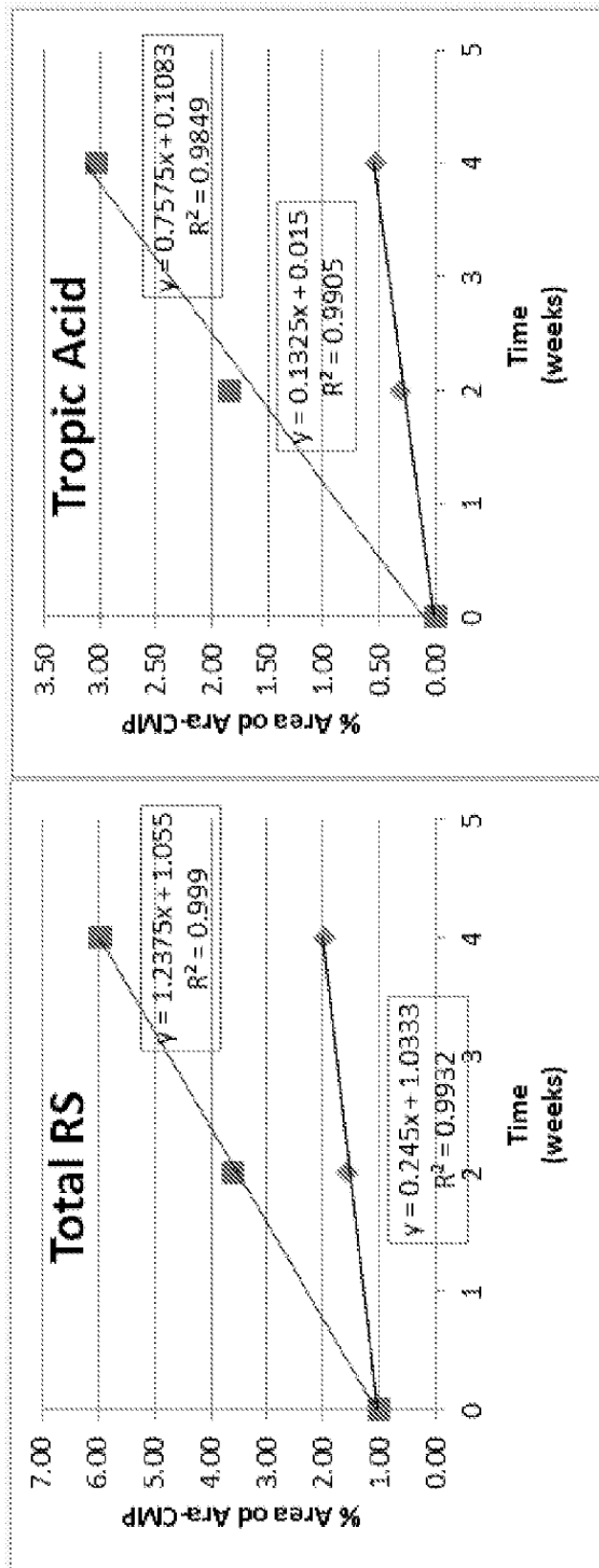




Fig. 7

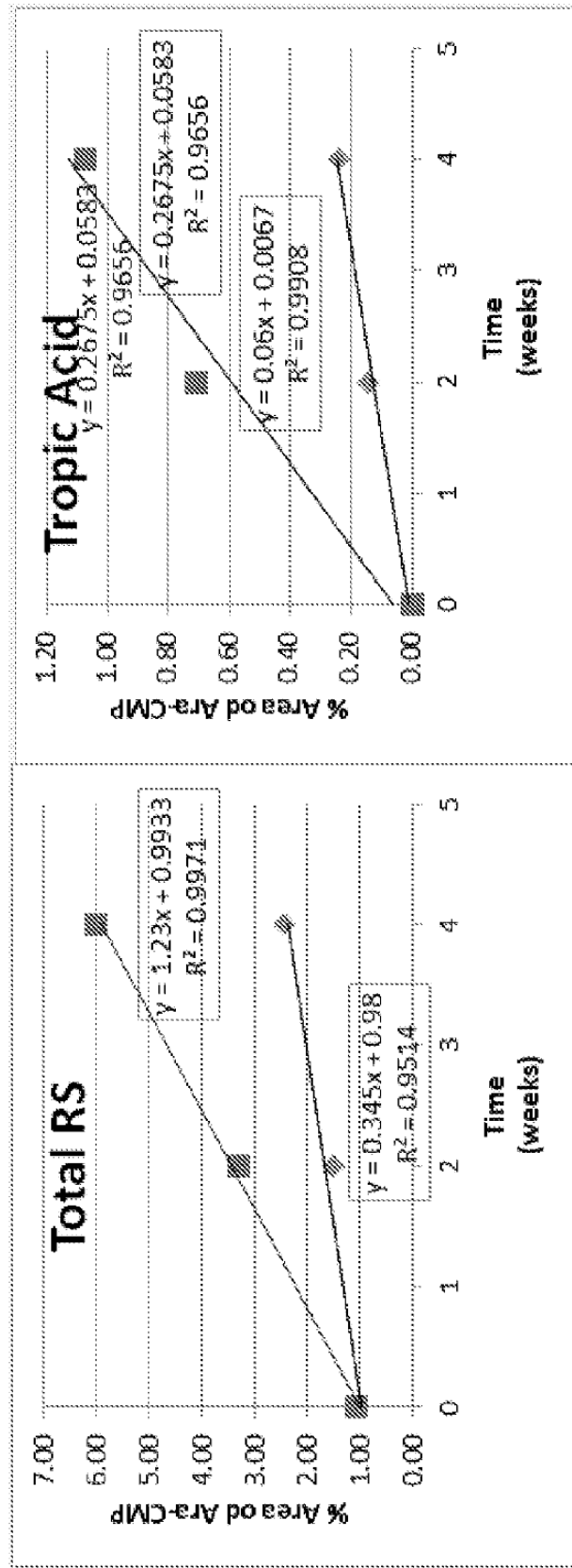


Fig. 8

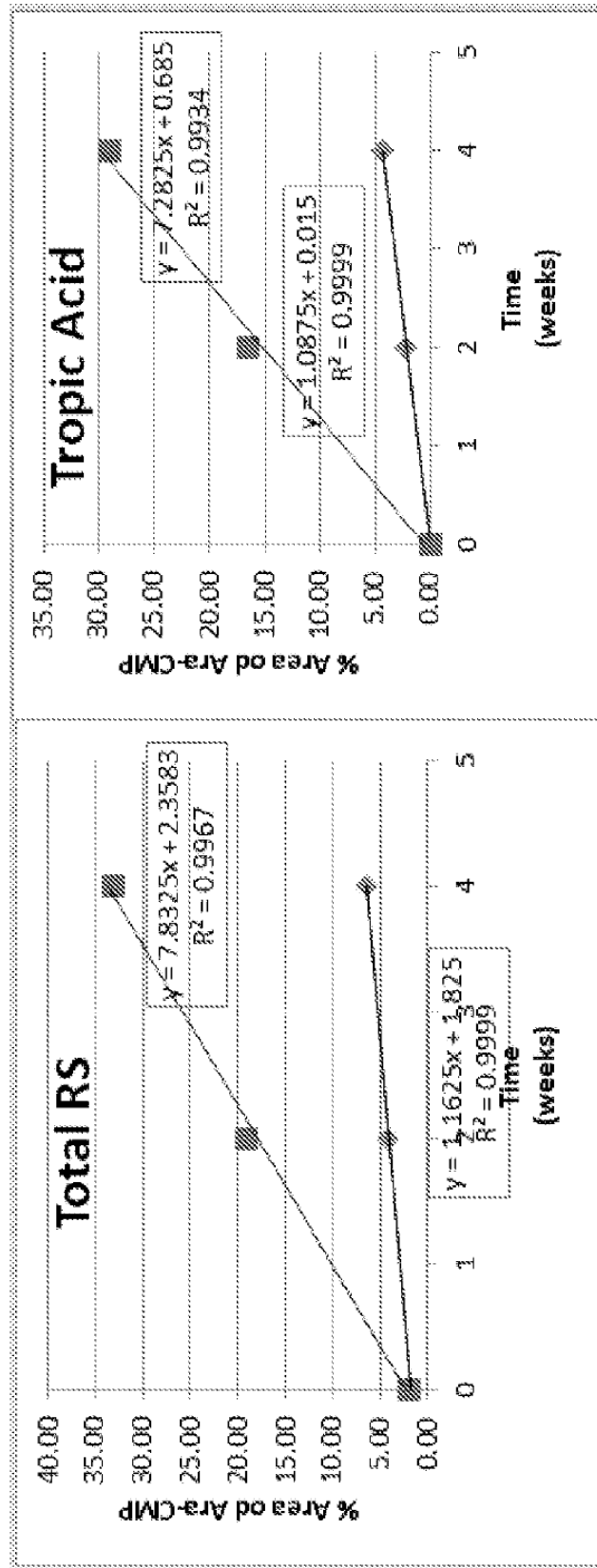


Fig. 9

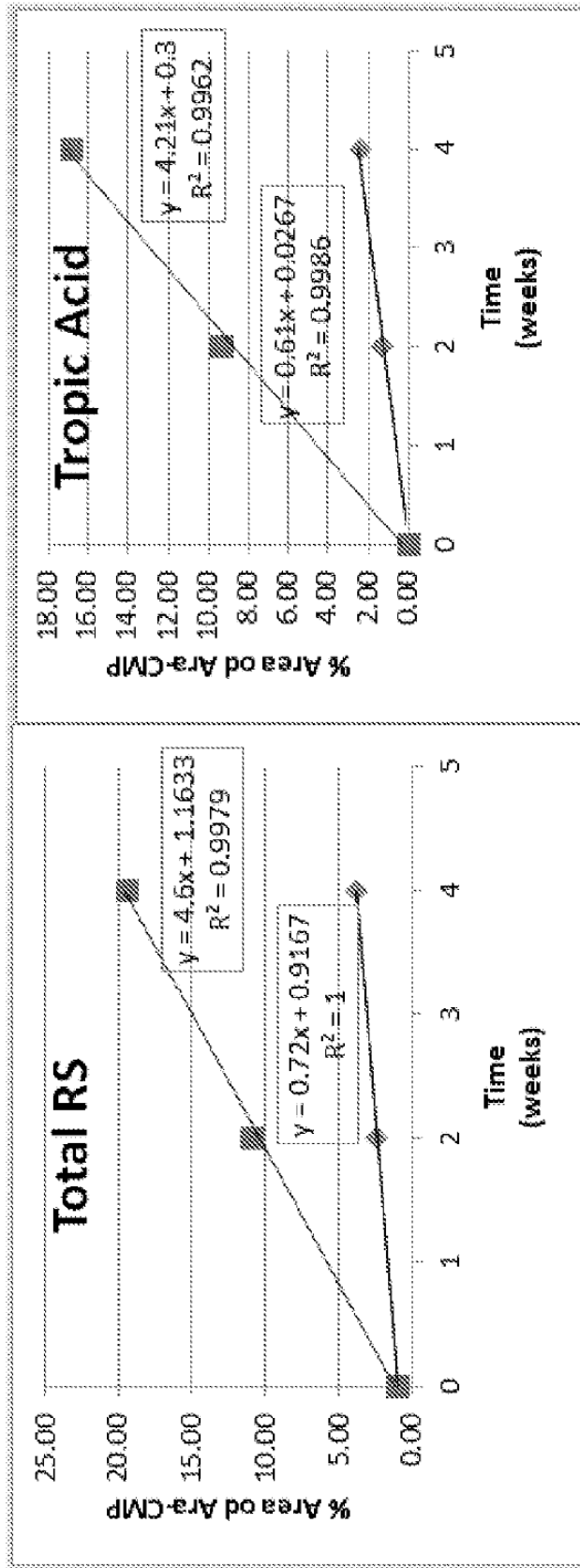
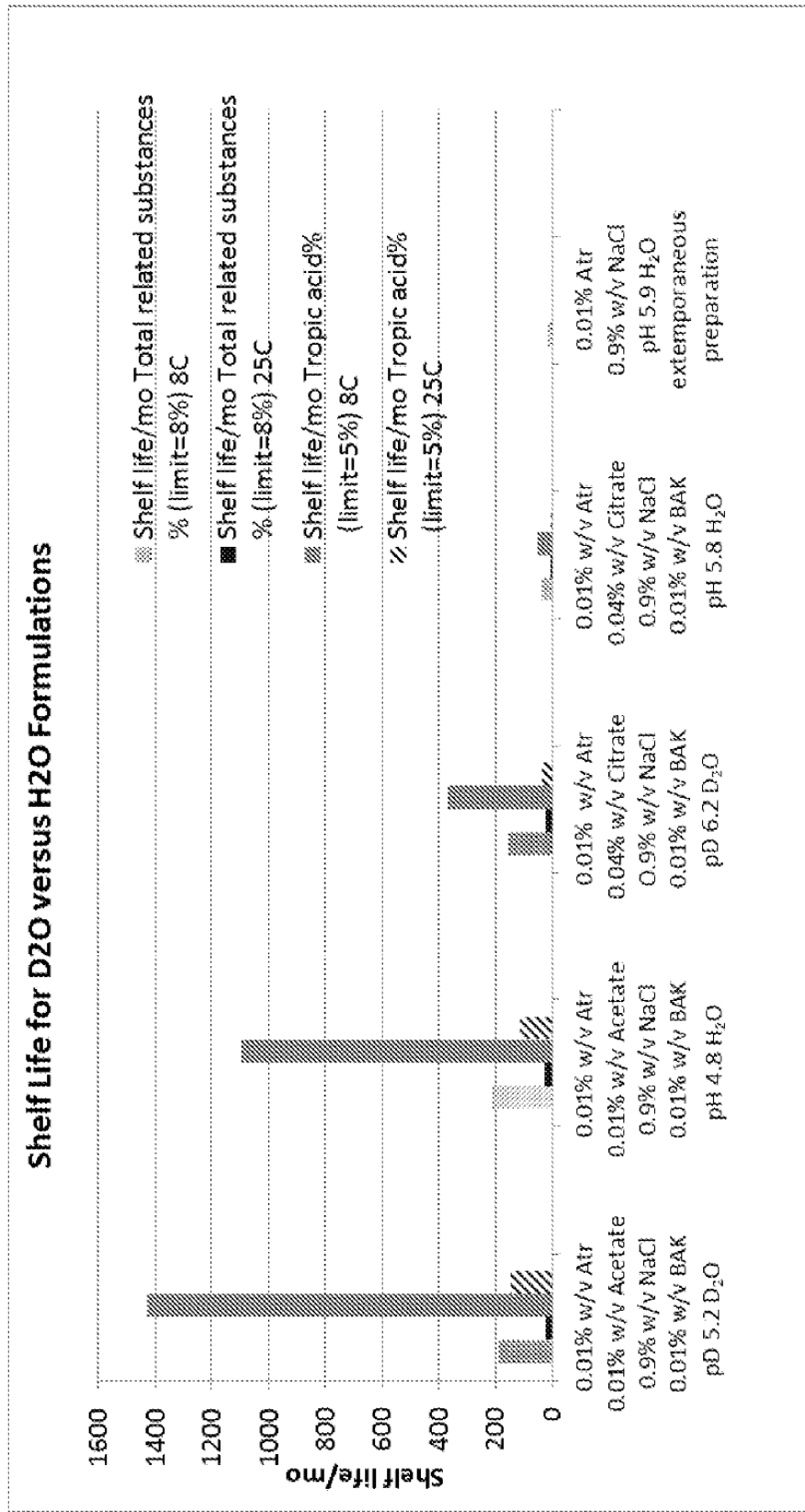


Fig. 10



(97) EP3689140 / 11/05/2022

(96) 20160251.3 / 23/11/2015

(22) 29/07/2022

(21) AL/P/ 2022/378

(54) **Kafshe jo-humane qe shprehin kompleks CD3 te humanizuar**

29/09/2022

(30) 201462083653 P 24/11/2014 US and 201562106999 P 23/01/2015 US

(71) Regeneron Pharmaceuticals, Inc.

777 Old Saw Mill River Road, Tarrytown, NY 10591, US

(72) THURSTON, Gavin (c/o Regeneron Pharmaceuticals, Inc., 777 Old Saw Mill River Road, Tarrytown, NY 10591); MURPHY, Andrew J. (c/o Regeneron Pharmaceuticals, Inc., 777 Old Saw Mill River Road, Tarrytown, NY 10591); LAI, Ka-Man Venus (14360 Edgewater Lane NE, Seattle, WA 98125); SMITH, Eric (c/o Regeneron Pharmaceuticals, Inc., 777 Old Saw Mill River Road, Tarrytown, NY 10591); OLSON, Kara L. (c/o Regeneron Pharmaceuticals, Inc., 777 Old Saw Mill River Road, Tarrytown, NY 10591); GUO, Dayong (9612 W 116th Terrace, Overland Park, KS 66210)

(74) Raimonda KARAPICI

Rr. Ndreko Rino, Nd. 1, H. 34/Ap 28 Tiranë

(57)

**1. Nje mi i modifikuar genetikisht qe permban**

në një vendndodhje CD3 $\epsilon$  endogjen të miut, një sekuencë e acidit nukleik që kodon një proteinë kimerike CD3 $\epsilon$  njeriu/miu që përfshin një sekuencë aminoacide të përcaktuar në VARGUN ID NR:24,

në një vendndodhje CD3 $\delta$  endogjen të miut, një sekuencë e acidit nukleik që kodon një proteinë kimerike CD3 $\delta$  të njeriut/miut që përfshin një sekuencë aminoacide të përcaktuar në VARGUN ID NR:25, dhe

në një lokus CD3 $\gamma$  endogjen të miut, një sekuencë e acidit nukleik që kodon një proteinë kimerike CD3 $\gamma$  të njeriut/miut që përfshin një sekuencë aminoacide të përcaktuar në VARGUN ID NR:26,

ku miu shpreh në sipërfaqen e qelizave të tij T një kompleks funksional të humanizuar CD3 që përfshin proteinat kimerike CD3 $\epsilon$ , CD3 $\delta$ , dhe CD3 $\gamma$  të njeriut/miut dhe ku lokalitetet endogjene CD3 $\epsilon$ , CD3 $\delta$  dhe CD3 $\gamma$  të miut janë modifikuar gjenetikisht për të mos shprehur domene funksionale jashtëqelizore. e proteinave CD3 $\epsilon$ , CD3 $\delta$  dhe CD3 $\gamma$  endogjene të miut.

**2. Një qelizë staminale embrionale (ES) e modifikuar gjenetikisht e miut që përfshin**

në një vendndodhje CD3 $\epsilon$  endogjen të miut, një sekuencë e acidit nukleik që kodon një proteinë kimerike CD3 $\epsilon$  njeriu/miu

që përfshin një sekuencë aminoacide të përcaktuar në VARGUN ID NR:24,

në një vendndodhje CD3 $\delta$  endogjen të miut, një sekuencë e acidit nukleik që kodon një proteinë kimerike CD3 $\delta$  njeriu/miu

që përfshin një sekuencë aminoacide të përcaktuar në VARGUN ID NR:25, dhe

në një vendndodhje CD3 $\gamma$  endogjen të miut, një sekuencë e acidit nukleik që kodon një proteinë kimerike CD3 $\gamma$  të njeriut/miut

që përfshin një sekuencë aminoacide të përcaktuar në VARGUN ID NR:26.

**3. Miu i pretendimit 1 ose qeliza ES e miut e pretendimit 2,**

ku sekuenca e acidit nukleik që kodon proteinën kimerike CD3 $\epsilon$  të njeriut/miut zëvendëson sekuencën e acidit nukleik që kodon proteinën përkatëse endogjene CD3 $\epsilon$  të miut,

ku sekuenca e acidit nukleik që kodon proteinën kimerike CD3 $\delta$  të njeriut/miut zëvendëson sekuençën e acidit nukleik që kodon proteinën përkatëse CD3 $\delta$  endogjene të miut, dhe  
ku sekuenca e acidit nukleik që kodon proteinën kimerike CD3 $\gamma$  të njeriut/miut zëvendëson sekuençën e acidit nukleik që kodon proteinën CD3 $\gamma$  endogjene përkatëse të miut.

4. Miu ose qeliza ES e miut te ndonjerit prej pretendimeve te mesiperme, e cila është heterozigote për lokuset CD3 endogjene të modifikuara të miut.

5. Miu ose qeliza ES e miut te ndonjerit prej pretendimeve 1-3, e cila është homozigote për lokuset CD3 endogjene të modifikuara të miut.

6. Një metodë për të bërë një mi të modifikuar gjenetikiisht siç përcaktohet në secilin prej pretendimeve 1 dhe 3-5, që përfshin:

a) futjen në gjenomin e një qelize burimore embrionale (ES) të miut

në një lokus CD3 $\epsilon$  endogjen të miut, një sekuençë e acidit nukleik që kodon një proteinë kimerike CD3 $\epsilon$  njeriu/miu që përfshin një sekuençë aminoacide të përcaktuar në VARGUN ID NR:24,

në një vendndodhje CD3 $\delta$  endogjen të miut, një sekuençë e acidit nukleik që kodon një proteinë kimerike CD3 $\delta$  të njeriut/miut që përfshin një sekuençë aminoacide të përcaktuar në VARGUN ID NR:25, dhe

në një vendndodhje CD3 $\gamma$  endogjen të miut, një sekuençë e acidit nukleik që kodon një proteinë kimerike CD3 $\gamma$  të njeriut/miut që përfshin një sekuençë aminoacide të përcaktuar në VARGUN ID NR:26, dhe

b) gjenerimin e miut të modifikuar gjenetikiisht nga qeliza, opsionalisht, ku qeliza është një qelizë e vetme ES dhe qeliza e vetme ES futet në një embrion miu për të gjeneruar një mi.

7. Një metodë për të bërë një qelizë ES të modifikuar gjenetikiisht të miut siç përcaktohet në secilin prej pretendimeve 2-5, që përfshin:

futjen brenda genomit te qelizës ES

në një lokus CD3 $\epsilon$  endogjen të miut, një sekuençë e acidit nukleik që kodon një proteinë kimerike CD3 $\epsilon$  njeriu/miu që përfshin një sekuençë aminoacide të përcaktuar në VARGUN ID NR:24,

në një vendndodhje CD3 $\delta$  endogjen të miut, një sekuençë e acidit nukleik që kodon një proteinë kimerike CD3 $\delta$  të njeriut/miut që përfshin një sekuençë aminoacide të përcaktuar në VARGUN ID NR:25, dhe

në një vendndodhje CD3 $\gamma$  endogjen të miut, një sekuençë e acidit nukleik që kodon një proteinë kimerike CD3 $\gamma$  të njeriut/miut që përfshin një sekuençë aminoacide të përcaktuar në VARGUN ID NR:26.

8. Metoda e pretendimit 6 ose 7,

ku sekuenca e acidit nukleik që kodon proteinën kimerike CD3 $\epsilon$  të njeriut/miut zëvendëson sekuençën e acidit nukleik që kodon proteinën përkatëse endogjene CD3 $\epsilon$  të miut,

ku sekuenca e acidit nukleik që kodon proteinën kimerike CD3 $\delta$  të njeriut/miut zëvendëson sekuençën e acidit nukleik që kodon proteinën përkatëse CD3 $\delta$  endogjene të miut, dhe

ku sekuenca e acidit nukleik që kodon proteinën kimerike CD3 $\gamma$  të njeriut/miut zëvendëson sekuençën e acidit nukleik që kodon proteinën CD3 $\gamma$  endogjene përkatëse të miut.

**9.** Një model miu për testimin e një proteine antigen-lidhese bispecifike bazuar në CD3, ku proteina antigen-lidhese është e aftë të lidhë si CD3 ashtu edhe një antigjen jo-miu me interes, që përfshin:

a) një mi, gjenomi i të cilit është modifikuar gjenetikisht në mënyrë që të shprehë në sipërfaqen e qelizave të tij T një kompleks funksional të humanizuar CD3 që përfshin proteinat kimerike të njeriut/miut CD3 $\epsilon$ , CD3 $\delta$  dhe CD3 $\gamma$ ,

ku proteina kimerike CD3 $\epsilon$  e njeriut/miut përfshin një sekuencë aminoacide të përcaktuar në VARGUN ID NR:24,

ku proteina kimerike CD3 $\delta$  e njeriut/miut përmban një sekuencë aminoacide të përcaktuar në VARGUN ID NR:25, dhe

ku proteina kimerike CD3 $\gamma$  e njeriut/miut përmban një sekuencë aminoacide të përcaktuar në VARGUN ID NR:26, dhe

b) një qelizë që shpreh ose përmban antigjenin me interes jo të miut, opsionalisht ku antigjeni me interes është një antigjen njerëzor me interes.

**10.** Një metodë e shqyrtimit të një proteine antigen lidhese që lidh CD3 njerëzore dhe një antigjen me interes, metoda që përfshin:

a. futjen e antigenit me interes në një mi të modifikuar gjenetikisht siç përcaktohet në një nga pretendimet 1 dhe 3-5 ose i bërë sipas metodës së pretendimit 6 ose 8,

b. kontaktimin e miut me proteinën që lidh antigjenin dhe

c. përcaktimin nëse proteina që lidh antigjenin është efikase në aktivizimin e qelizave T të miut që shprehin CD3 funksionale.

**11.** Metoda e pretendimit 10, ku hapi i futjes përfshin modifikimin gjenetik të miut për të shprehur antigjenin me interes; infektimin e miut me antigjenin e interesit, opsionalisht duke kryer infeksion viral ose bakterial; dhe/ose futja në miun në fjalë e një qelizë që shpreh antigjenin e interesit.

**12.** Modeli i miut ose metoda e pretendimit 9 ose 11, ku qeliza është një qelizë tumorale ose një qelizë bakteriale.

**13.** Modeli i miut ose metoda e secilit prej pretendimeve 9-12, ku miu është një mi imunokompetent.

**14.** Modeli i miut ose metoda e secilit prej pretendimeve 9-13, ku antigjeni me interes është

(a) një antigjen i lidhur me tumorin, i cili opsionalisht mund të zgjidhet nga grupi i përbërë nga proteinat ALK, BAGE, BIRC5 (survivin), BIRC7, CA9, CALR, CCR5, CD19, CD20 (MS4A1), CD22, CD27, CD30, CD33, CD38, CD40, CD44, CD52, CD56, CD79, CDK4, CEACAM3, CEACAM5, CLEC12A, EGFR, EGFR varianti III, ERBB2 (HER2), ERBB3, ERBB4, EPCAM, EPHA2,1,3, proteina, EPHA2,1, EPRL5, GD2, GD3, GPNMB, GM3, GPR112, IL3RA, KIT, KRAS, LGR5, LMP2 me prejardhje nga EBV, L1CAM, proteinat MAGE, MLANA, MSLN, MUC1, MUC2, MUC3, MUC4, MUCNY16,30MUC -ESO1 (CTAG1B), OX40, PAP, PAX3, PAX5, PLAC1, PRLR, PMEL, PRAME, PSMA (FOLH1), proteinat RAGE, RET, RGS5, ROR1, SART1, SART3, SLAMF7, SLC39A6 (LIVTEAP2), , TERT, TMPRSS2, antigjeni Thompson-nouvelle, TNFRSF17, TYR, UPK3A, VTCN1 dhe WT1,

(b) një antigjen sëmundjesh infektive, i cili opsionalisht mund të jetë një antigjen viral, si HIV; hepatiti A; Hepatiti B; hepatiti C; virusi herpes si virusi HSV-1, HSV-2, CMV, HAV-6, VZV dhe Epstein Barr; adenovirus; virusi i gripit; flavivirus; echovirus; rinovirus; virusi Coxsackie; koronavirus; virus respirator sincicial; virusi i shytave; rotavirus; virusi i fruthit; virusi i rubeolës;

parvovirus; virusi vaccinia; HTLV; virusi i dengut; papillomavirus; virusi i moluskut; poliovirus; virusi i tërbimit; virusi JC; virusi ebola; dhe antigjeni i virusit të encefalitit arboviral; ose (c) një antigen bakterial, i cili opsionalisht mund të jetë klamidia, ricketisia, mykobakteret, stafilokokët, streptokokët, pneumonokokët, meningokokët, gonokokët, klebsiella, proteus, serratia, pseudomonas, legionella, diphtheria, batheriaultan, , murtaja, leptospira dhe antigjeni bakterial i sëmundjes Lyme.

**15. Metoda e secilit prej pretendimeve 10-14, ku proteina që lidh antigenin është**

- a) një antitrop, një antitrop bispecifik, ose një proteinë bispecifike që lidh antigenin, dhe/ose
- b) është i aftë të njohë një proteinë CD3 majmuni.

**16. Metoda e pretendimit 12, ku proteina antigen-lidhese është**

- a) i aftë për të reduktuar, eliminuar ose parandaluar rritjen e tumorit në krahasim me një agjent që nuk synon antigenin me interes dhe ku hapi i përcaktimit përfshin opsionalisht një analizë të vëllimit të tumorit ose një analizë të vrasjes së qelizave tumorale të ndërmjetësuara nga qelizat T, ose
- b) të aftë për të reduktuar, eliminuar ose parandaluar infeksionin bakterial ose viral në krahasim me një agjent që nuk synon antigenin me interes dhe ku hapi i përcaktimit përfshin opsionalisht matjen e titrave viralë ose bakterialë.



FIG. 1

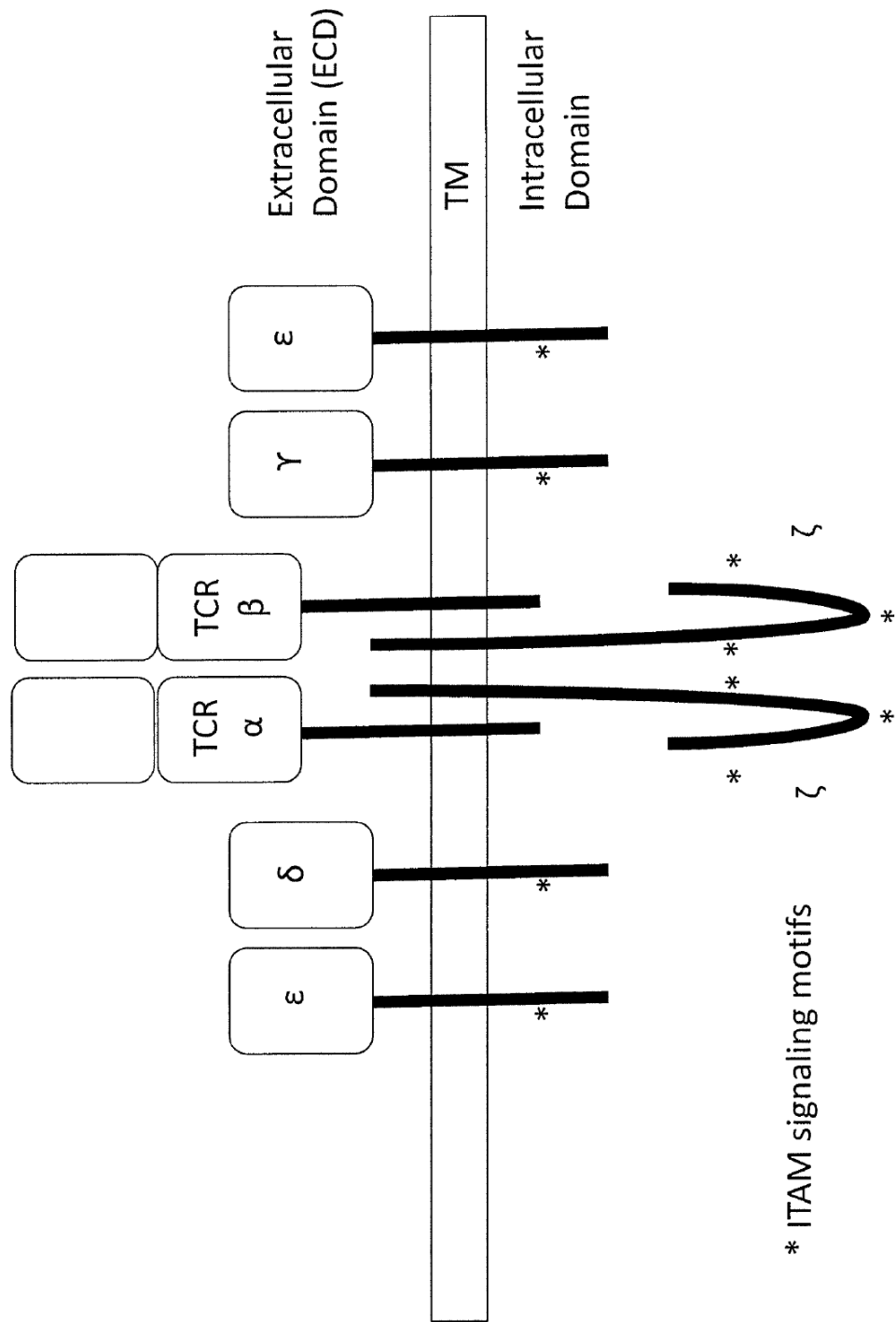


FIG. 2A

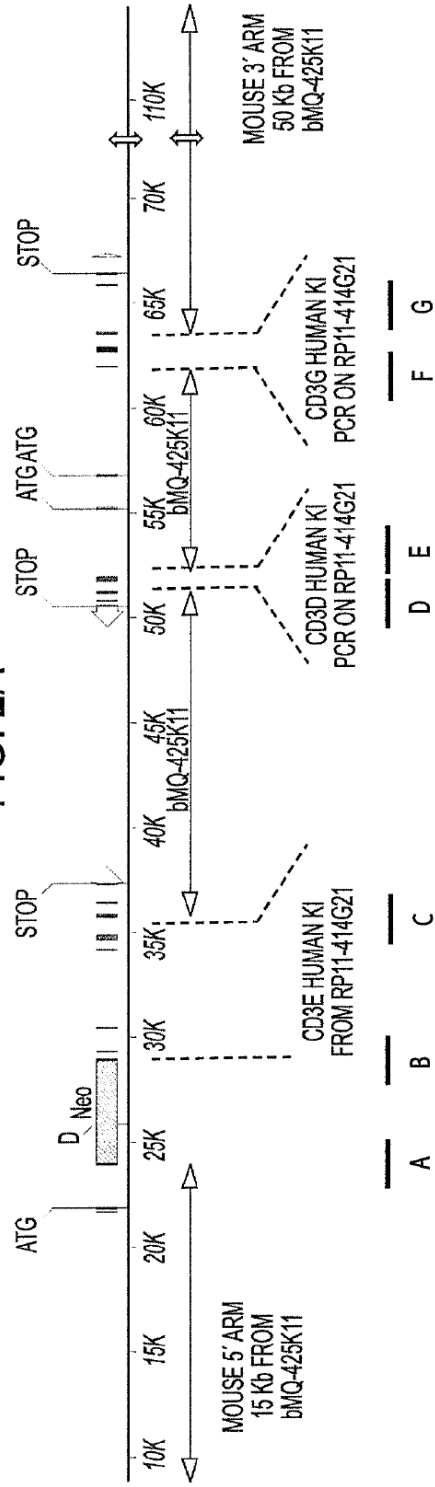
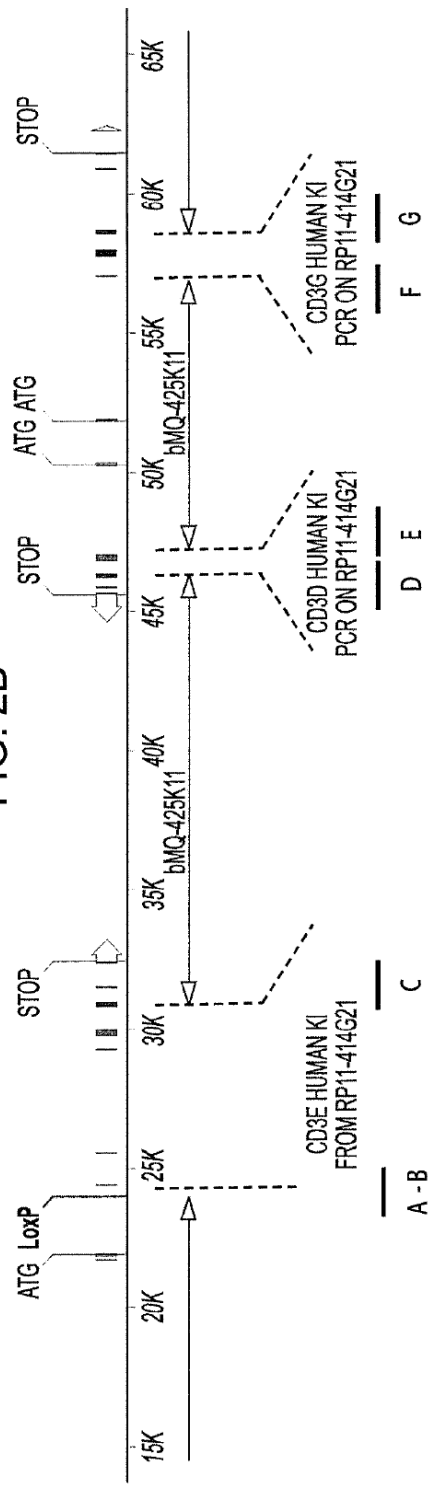


FIG. 2B



### FIG. 3

#### CD3e humanized protein

(SEQ ID NO: 24)

MRWNTFWGILCLSLAVGVWGQDGNEMGGITQTPYKVSISGTTVILTCPQ  
YPGSEILWQHNDKNIGDDEDKNIGSDEDDHLSLKEFSELEQSGYYVCYPRGSK  
PEDANFYLYLRARVCENCMEMDVMVAIIIIIDICITLGLLMVVIYYWSKNRKAK  
AKPVTRGTGAGSRPRGQNKERPPVPNPDPYPIRKGQRDLYSGLNQRAV\*

#### CD3d humanized protein

(SEQ ID NO:25)

MEHSGILASLIIAVLPQVSPFKIPIEELEDRVFVNCNTSITWVEGTVGTLSDITRL  
DLGKRILDPRGIYRCNGTDIYKDKESTYQVHYRMCQSCVELDPATVAGVIFIDLIA  
TLLALGVYCFAGHETGRPSGAAEVQALLKNEQLYQPLRDREDTQYSRLGGNWP  
RNKKS\*

#### CD3g humanized protein

(SEQ ID NO:26)

MEQRKGLAGLFLVISLLQGTLAQSIKGNHLVKVYDYQEDGSVLLITCDAEAKNIT  
WFKDGMIGFLETEDKKKWNLGSNAKDPRGMYQCCKGSQNKSKPLQVYRMC  
QNCIELNAATISGFIFAEVISIFFLALGVYLIAGQDGVQRQRASDKQTLLQNEQLY  
QPLKDREYDQYSHLQGNQLRKK\*

Underscored residues coded by introduced human exons

FIG. 4

mCd3e/hCD3E protein alignment

```

*
*
↓
*
mCD3ep 1 MRWNTFWCILCLSLLAVGTQCDDAEN-----IEYKVISGTSVELTCEPLDSDENLKEWKNQCQLP-QKHDX-----HVLVQDFSEVEDSGYTVCYT 85
hCD3ep 1 MQSGTHWRKVLGLCLLSGVGWGDGNEEMGGITQTPYKVISGTVVITTCFQYPGSEILIQHFHNDKNIIGGDEDDHLSEKGFSELEQSGYIYCYF 100
      * . * . * . * . * . * . * . * . * . * . * . * . * . * . * . * . * . * . * . * . * . * . * . * . * . * . * . *
      * . * . * . * . * . * . * . * . * . * . * . * . * . * . * . * . * . * . * . * . * . * . * . * . * . * . * . *
      * . * . * . * . * . * . * . * . * . * . * . * . * . * . * . * . * . * . * . * . * . * . * . * . * . * . * . *
86 PAS--NKNTYLYLKARVCEYCVVEVDLTAVAIIIVDICTILGLLMVIYWSKNRKAKAKPVTRGTGAGSRPRGONKERPPVPPVNPDYEPPIKRGQRDLYS 182
hCD3ep 101 RGSKEPANFYLYRVRVENCMEMDMYMSVATIVDICTIGLLLVVYWSKNRKAKAKPVTRGAGAGRQRGONKERPPVPPVNPDYEPPIKRGQRDLYS 200
      * * * * * . * * * * * . * * * * * . * * * * * . * * * * * . * * * * * . * * * * * . * * * * * . * * * * * . * * * * *
      * . * . * . * . * . * . * . * . * . * . * . * . * . * . * . * . * . * . * . * . * . * . * . * . * . * . * . *
183 GLNQRV 189
hCD3ep 201 GLNQRRI 207
      * * * * * .

```

mCd3d/hCD3D protein alignment

```

*
↓
*
mCd3d 1 MEHSGLASLILAVLPQGSFPFKIQVTEYEDKVFVTCNTSVMHLDGTEGWPFAKNKTLNLGKGVLDPRGIYLCNGTEQLAKVWSVQVHVRMCQNCVELD 100
hCD3D 1 MEHSTFLSGLVATLISQVSPFKIPTEELEDKRVFVNCNTSITWVVEGTGILLSDITRDLGKRIIDPRGIYRCNGTDIYKDKBSTVQVHVRMCQSCVELD 100
      * * * * * . * * * * * . * * * * * . * * * * * . * * * * * . * * * * * . * * * * * . * * * * * . * * * * * . * * * * *
      * . * . * . * . * . * . * . * . * . * . * . * . * . * . * . * . * . * . * . * . * . * . * . * . * . * . * . *
      * . * . * . * . * . * . * . * . * . * . * . * . * . * . * . * . * . * . * . * . * . * . * . * . * . * . * . *
101 SGTMGVIFIDLIATLILALGVCFAGHETGRPGSAAEVQALLKNEQLYQPLDRDREDTQYSRLGGNWPRNKS 173
hCD3D isoA 101 PATVAGIIVTDVIATLILALGVCFAGHETGRLSGAADTQALLRNDOVYQPLDRDDAQQYSHLGGNWARNK-- 171
      * . * . * . * . * . * . * . * . * . * . * . * . * . * . * . * . * . * . * . * . * . * . * . * . * . * . * . *
      * . * . * . * . * . * . * . * . * . * . * . * . * . * . * . * . * . * . * . * . * . * . * . * . * . * . * . *
      * . * . * . * . * . * . * . * . * . * . * . * . * . * . * . * . * . * . * . * . * . * . * . * . * . * . * . *

```

mCd3g/hCD3G protein alignment

```

*
↓
*
mCd3g 1 MEQRKGLAGLFLVLSLQSTVVAQTNKAKNLVQDGRSGLVLLTCCGLTDKTIKWKDGSIIISPLNATKNWNLGNNAKDPRGTYCCQAKETSNPLOVY 100
hCD3G 1 MEQKGLAVLILAIILQGTIAQSIKGNHLVKVYDYQEDGSLITCDAEAKNITWFDGKMGIFLTEDKKNWLGSKNAKDPGMGQCKGSKQKSPLOVY 100
      * * * * * . * * * * * . * * * * * . * * * * * . * * * * * . * * * * * . * * * * * . * * * * * . * * * * *
      * . * . * . * . * . * . * . * . * . * . * . * . * . * . * . * . * . * . * . * . * . * . * . * . * . * . * . *
      * . * . * . * . * . * . * . * . * . * . * . * . * . * . * . * . * . * . * . * . * . * . * . * . * . * . * . *
101 YRMCNCELNIGTISGFIFAEIVSIFFLALGVYLIAGQDGVRCRASDKQTLLQNEQLYQPLKDYDYSHLQGNLRLKK 182
hCD3G 101 YRMCNCELNAAATISGFFAEIVSIFVAVGVYFIAGQDGVRCRSASDKQTLLPNDQLYQPLKDREDDQYSHLQGNQLRRN 182
      * * * . * . * . * . * . * . * . * . * . * . * . * . * . * . * . * . * . * . * . * . * . * . * . * . * . * . * . *
      * * * . * . * . * . * . * . * . * . * . * . * . * . * . * . * . * . * . * . * . * . * . * . * . * . * . *

```

FIG. 5A

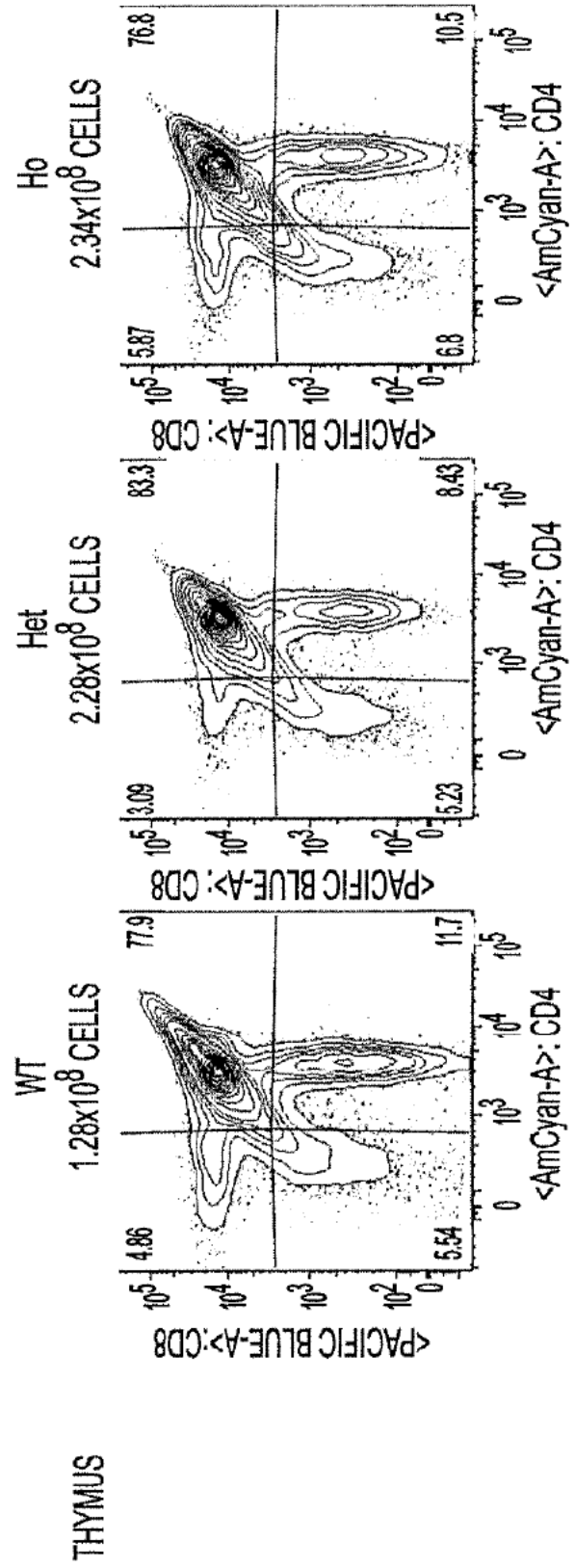


FIG. 5B

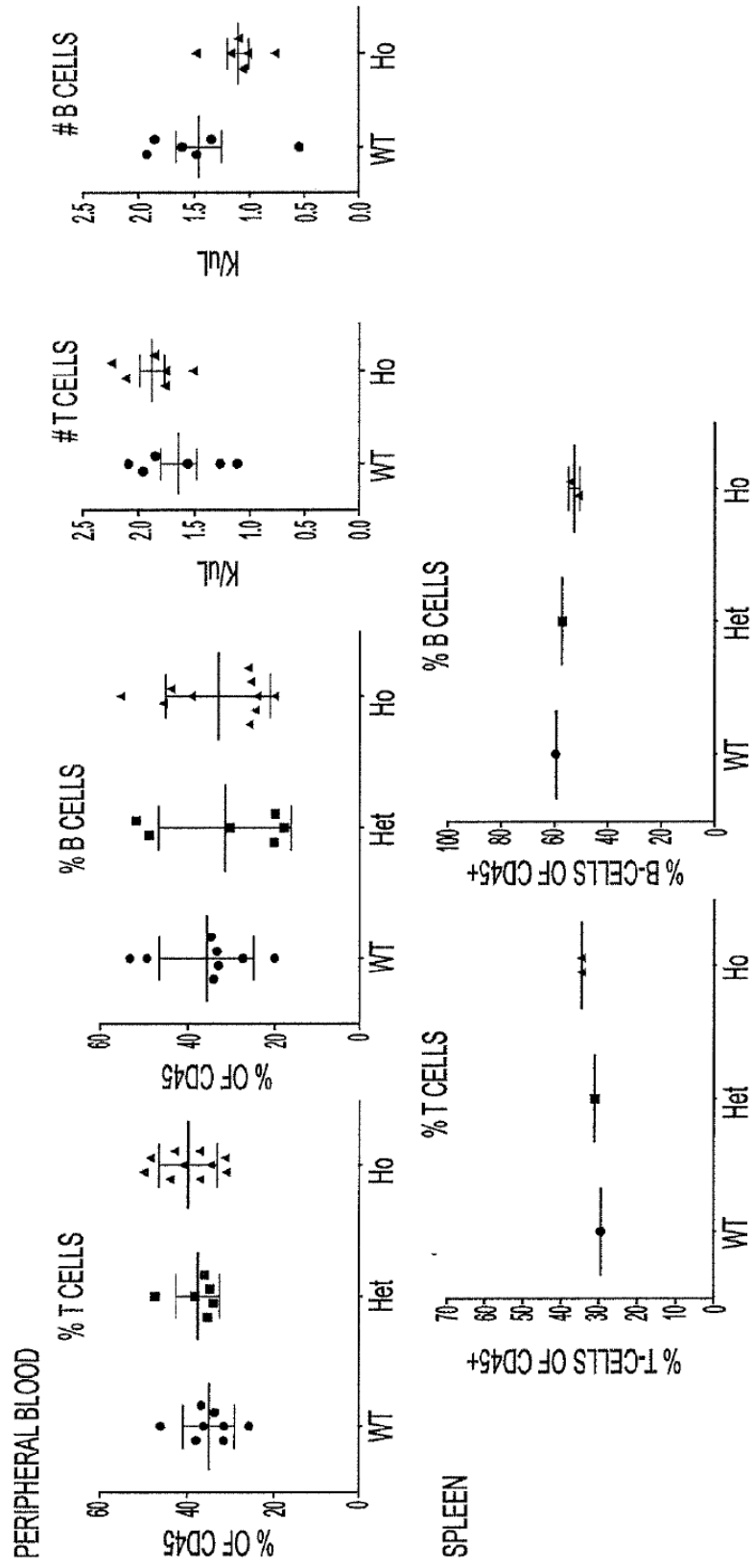
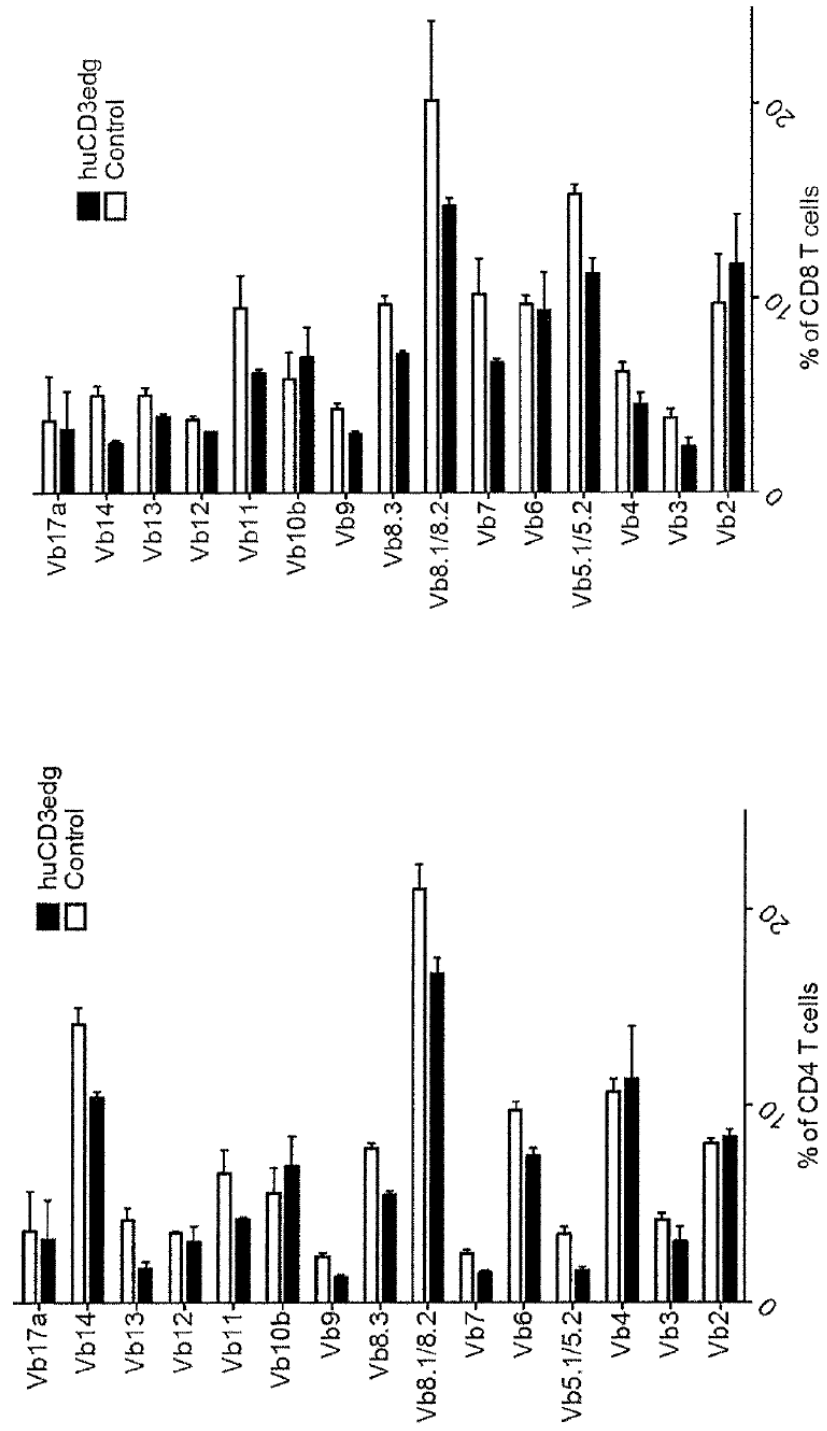


FIG. 5C



Humanized CD3 Mice Infected with LCMV Clone 13  
with or without Previous LCMV Armstrong Infection

Spleen titers (ffu/mL)

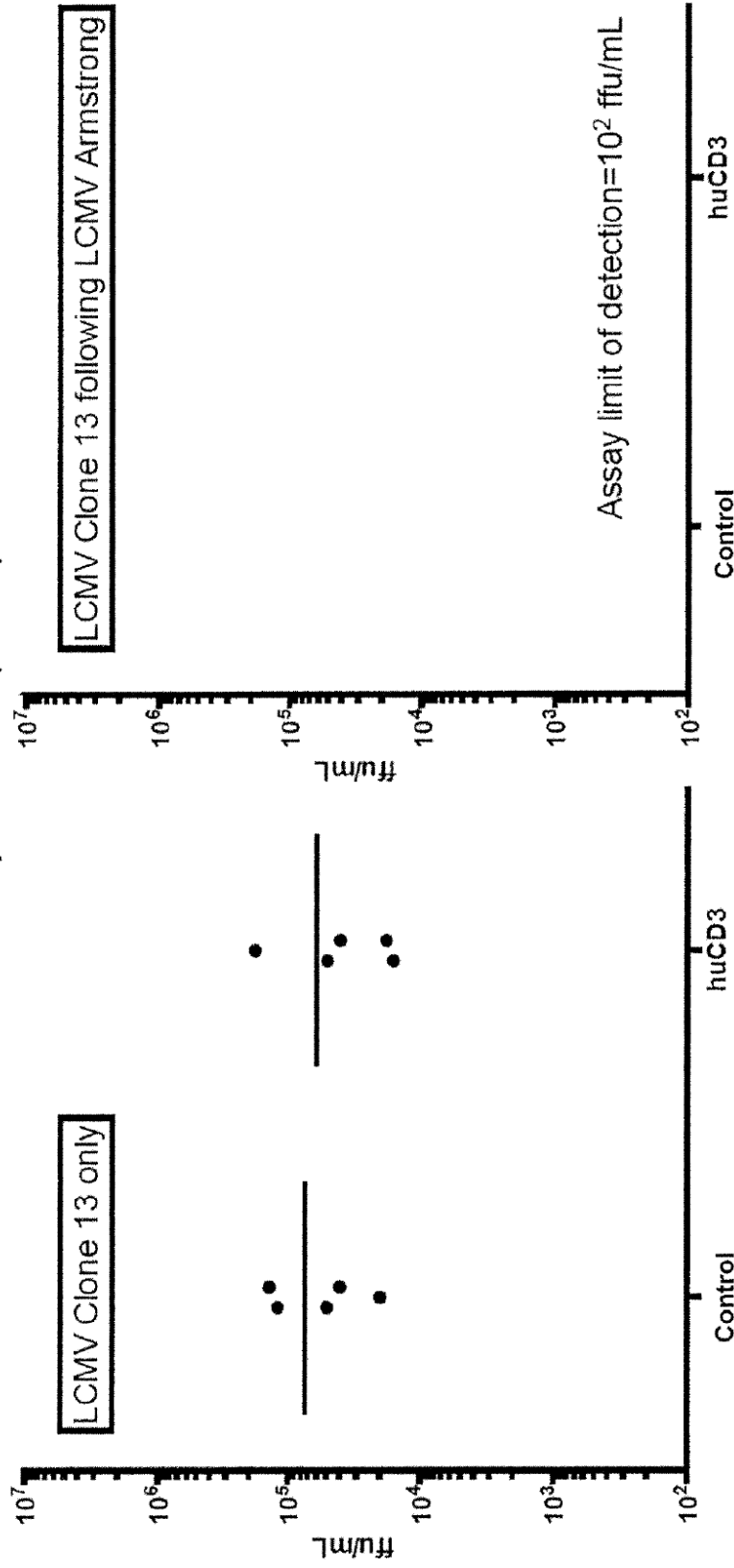
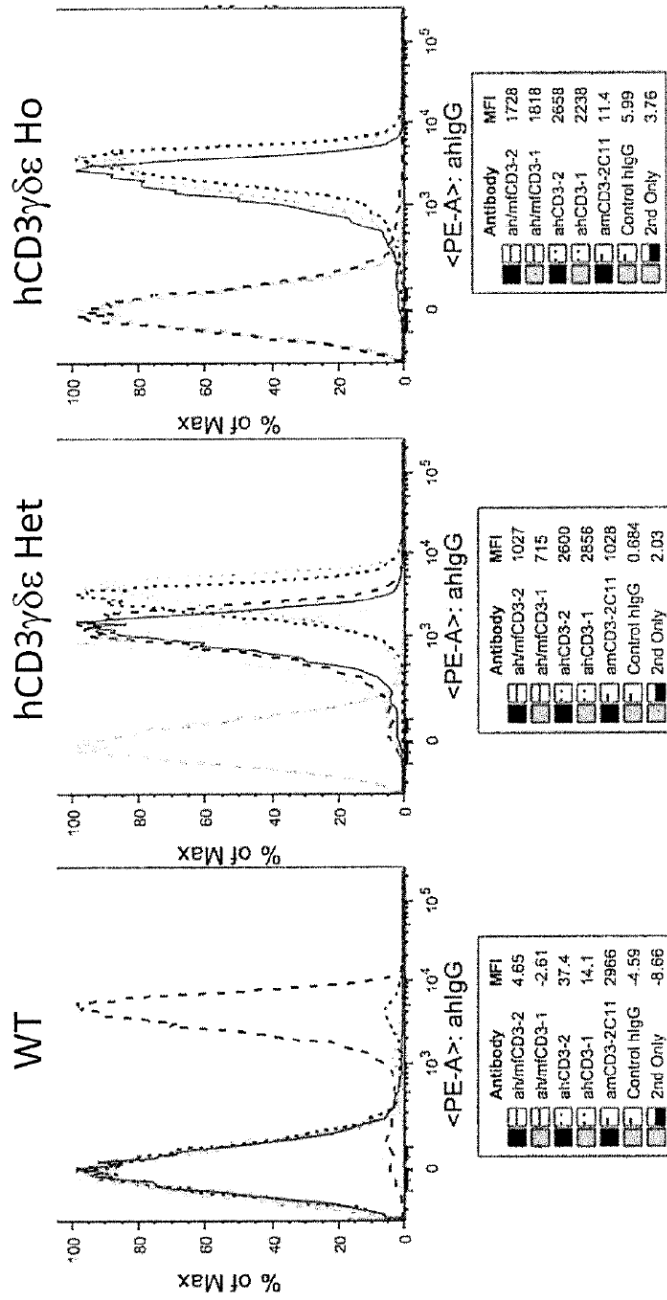


FIG. 6A

FIG. 6B



FIG. 7



- ah/mf = anti-human CD3 antibodies that cross-react to cynomolgus monkey CD3
- ah = anti-human CD3 antibodies that do not cross-react to cynomolgus monkey CD3

FIG. 8A

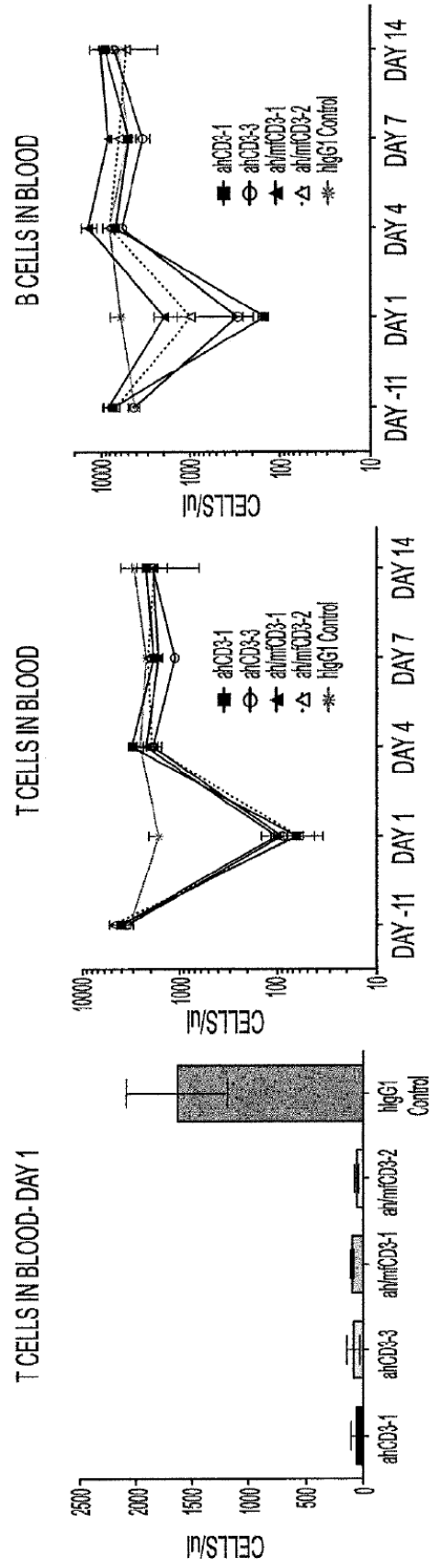


FIG. 8B

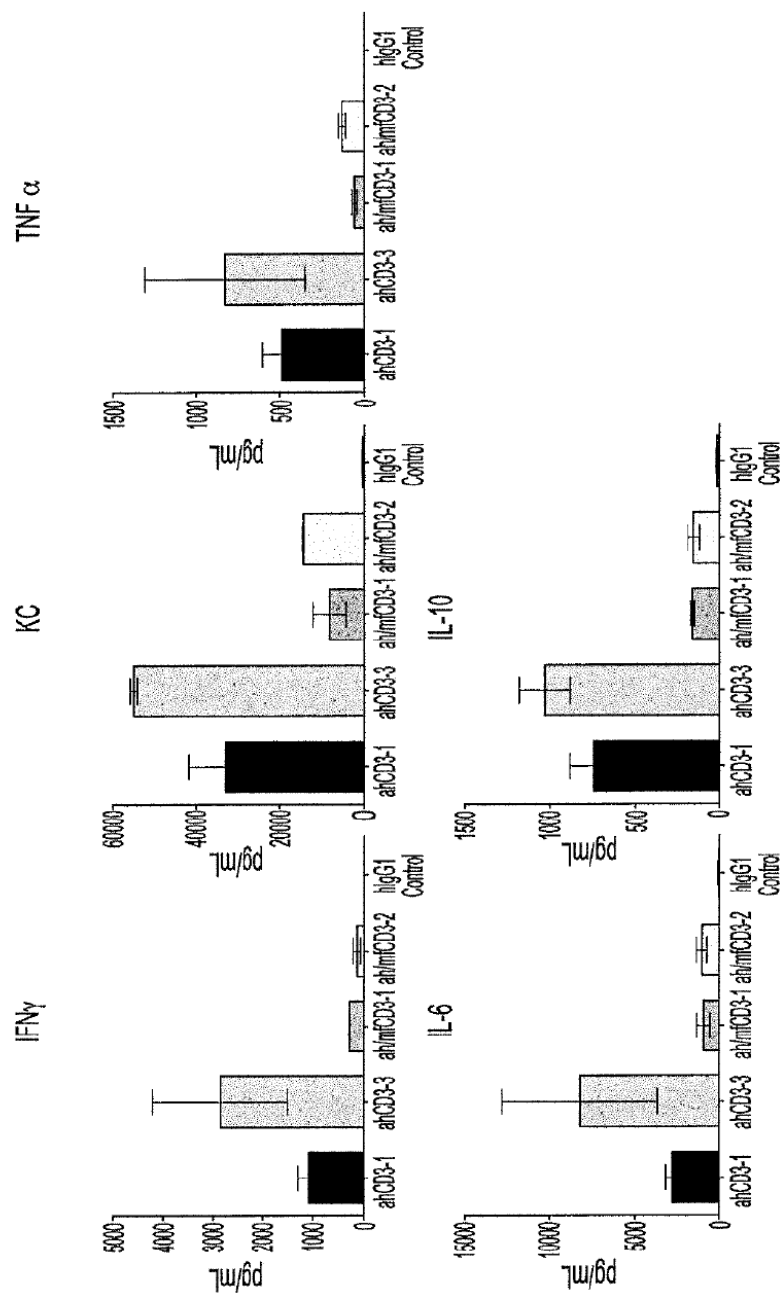
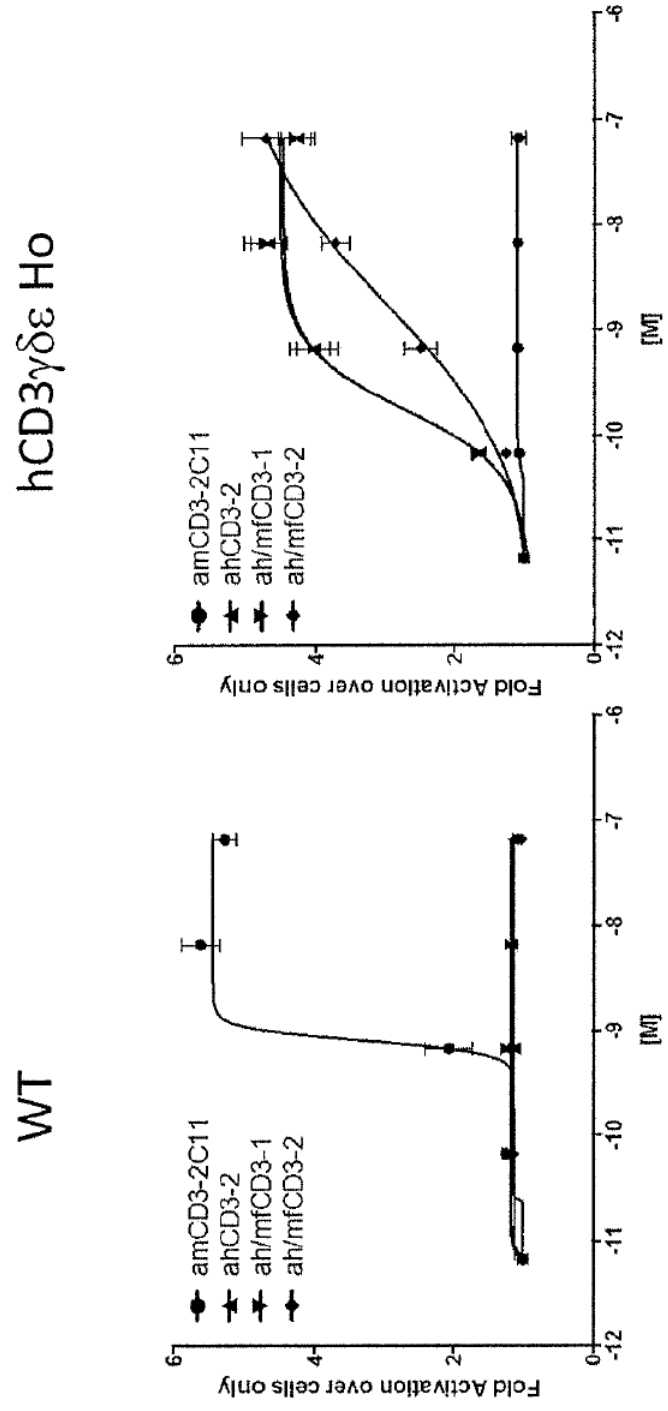


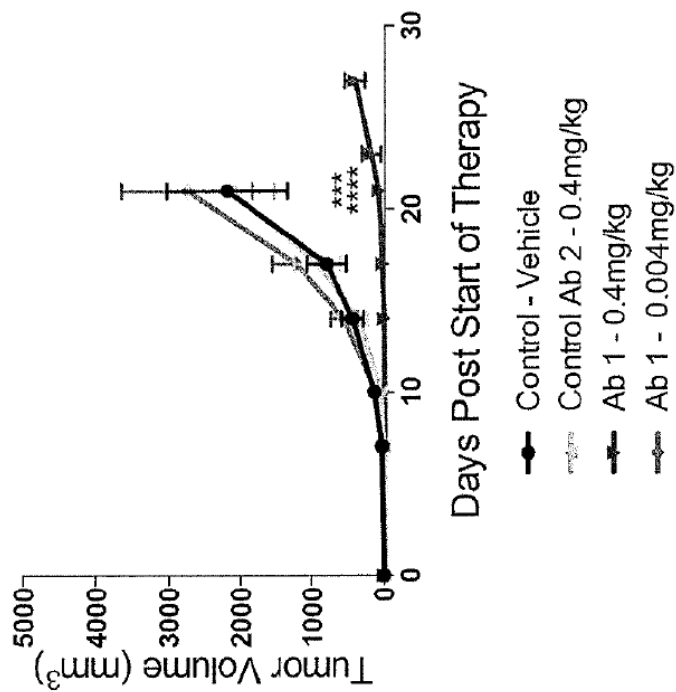
FIG. 9



**FIG. 10**

Genotype	ECD	T cell development	Responds to anti-mCD3	Binds anti-hCD3	Responds to anti-hCD3
WT	Mouse	Normal	Yes	No	No
hCD3gde-homozygous	Human	Normal	No	Yes, all antibodies tested, including cynomolgus monkey cross-reacting antibodies	Yes, all antibodies tested, including cynomolgus monkey cross-reacting antibodies

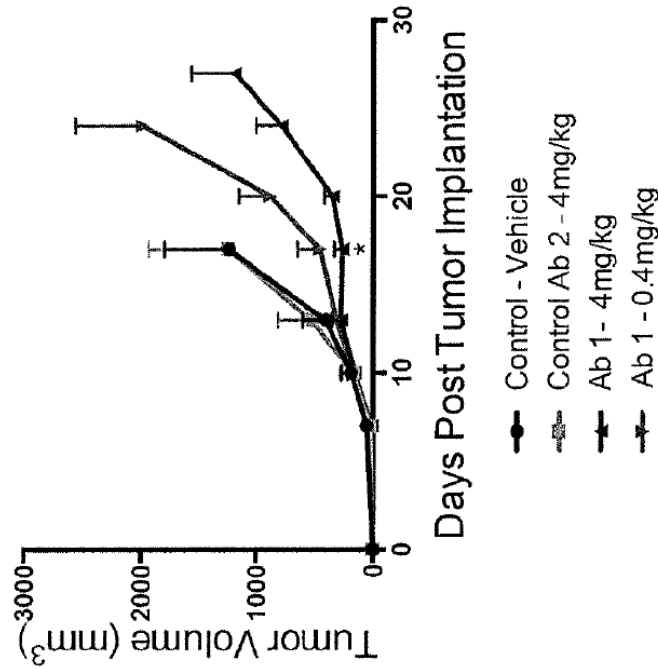
FIG. 11A



\*\*\*\* - compared to vehicle; \*\*\* - compared to Control Ab 2 control

Data represents the composite data from n=5 mice per group. Data are expressed as mean (SEM) and were analysed using analysis of variance (ANOVA) and post hoc tests to probe significant effects (Tukey's for two-way ANOVA).

FIG. 11B



\* - compared to vehicle and antibody control  
Data represents the composite data from n=5 mice per group. Data are expressed as mean (SEM) and were analysed using analysis of variance (ANOVA).

(11) **11106**

(97) EP3848506 / 18/05/2022

(96) 20020020.2 / 13/01/2020

(22) 29/07/2022

(21) AL/P/ 2022/379

(54) **NJË BOBINË LETRE PA BOSHT**

30/09/2022

(30)

(71) EXM GmbH

Raboisen 3, 20095 Hamburg, DE

(72) HOFFMANN, Jörg (Hansestrasse 85, 21337 Lüneburg)

(74) Krenar LOLOÇI

Rr. Ibrahim Rugova, P.1/1, Kati II, Tiranë, Shqipëri (Albania)

(57)

1. Një bobinë letre pa bosht, që përmban

një shiritë letre me rezizstensë-palosjeje (1), shiritë letre me rezizstensë-palosjeje që shtrëngohet në formë cilindri me njërin fundor,

një shirit i hollë letre (2), njëri fund ballor i shiritit të hollë të letrës është i fiksuar me fundorin e shiritit të letrës me rezizstensë-palosjeje; dhe

një shirit letre sensitive-ndaj nxehtësisë (3), njëri fundor i shiritit të letrës sensitive-ndaj nxehtësisë

është fiksuar me njërin fundor të shiritit të hollë të letrës, dhe shiriti i letrës sensitive-ndaj nxehtësisë mbështillet përreth një perimetri të jashtëm të shiritit të letrës me rezistencë-palosjeje.

2. Bobinë letre në pretendimin 1, ku fortësia elastike gjatësore e shiritit të hollë të letrës është ndërmjet  $1.961333 \times 10^{-7}$  dhe  $3.922663 \times 10^{-7}$  Megapascal, MPa.
3. Bobinë letre në pretendimin 1 ose 2, ku një vijë ndarjeje (21) sigurohet në mënyrë anësore mbi shiritin e hollë të letrës.
4. Bobinë letre në pretendimin 3, ku vija ndarëse përbëhet nga vija të shumta të sistemuara përmes vrimash.
5. Bobinë letre në pretendimin 3 ose 4, ku të thelluarat në formë V (22) sigurohen në të dy anët e letrës së hollë të letrës, dhe të thelluarat në formë V i korrespondojnë një pozicioni të vijës ndarëse.
6. Bobinë letre në pretendimin 5, ku të thelluarat në formë V janë në një formë trekëndore, dhe njëri kënd i formës trekëndore i korrespondon pozicionit të vijës ndarëse.
7. Bobinë letre në njërin prej pretendimeve të mëparshme, ku shiriti i letrës sensitive-ndaj nxehtësisë përfshin një shtresë të yndyrshme silikoni (11), një shtresë letre (12) dhe një shtresë adezivi sensitive-ndaj presionit (13) që stivohen në mënyrë sekuenciale.
8. Bobinë letre në pretendimet e mëparshme, ku shiriti i letrës sensitive-ndaj nxehtësisë përfshin një shtresë letre sipërfaqësore (14), një shtresë adezivi sensitive-ndaj presionit (13), një shtresë të yndyrshme silikoni (11) dhe një shtresë letre të poshtme (15) që stivohen në mënyrë sekuenciale.

(11) **11107**

(97) EP3242882 / 04/05/2022

(96) 16700059.5 / 06/01/2016

(22) 29/07/2022

(21) AL/P/ 2022/380

(54) **PEPTIDE ANTAGONISTE TË CGRP**

30/09/2022

(30) 201562100371 P 06/01/2015 US

(71) Ferring B.V.

Polaris Avenue 144, 2132 JX Hoofddorp, NL

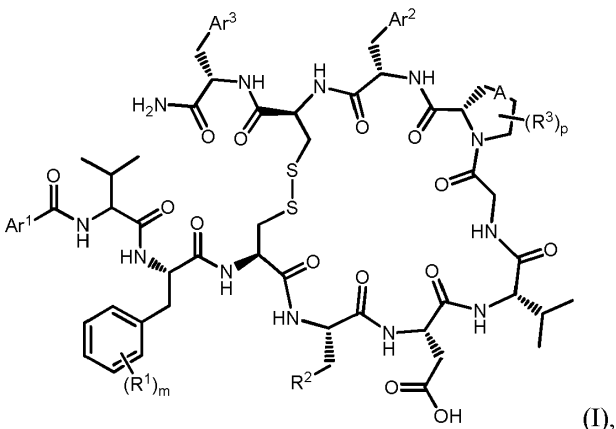
(72) JIANG, Guangcheng (13330 Kibbings Road, San Diego, California 92130); WISNIEWSKI, Kazimierz (8274 Chandler Hill Ct., San Diego, California 92127); RABINOVICH, Aleksandr, K (8234 Caminito Maritimo, La Jolla, California 92037) ;SUEIRAS-DIAZ, Javier, J (Apart 137 8526 Villa La Jolla Drive, La Jolla, California 92037-2315)

(74) Krenar LOLOÇI

Rr. Ibrahim Rugova, P.1/1, Kati II, Tiranë, Shqipëri (Albania)

(57)

1. Një përbërje e formulës (I) ose një kripë farmaceutikisht e pranueshme e saj:





ku

m është 0, 1, 2, 3, 4, ose 5;

p është 0, 1, 2, ose 3;

A është lidhje karbon-karbon njëfishe ose dyfishe;

$Ar^1$  është heteroaril me 5- ose 6-elemente, secili prej tyre është i zëvendësuar në mënyrë opsionale me një ose më shumë zëvendësues, çdo zëvendësues që është në mënyrë të pavarur halogjen, nitro,  $C_1-C_4$  alkil,  $C_1-C_4$  hidroksialkil,  $OR_a$ , ose  $N(R_aR_a')$ , në të cilin çdo  $R_a$ , në mënyrë të pavarur, është H ose  $C_1-C_4$  alkil dhe çdo  $R_a'$ , në mënyrë të pavarur, është H ose  $C_1-C_4$  alkil;

$Ar^2$  është aril ose heteroaril me 5- ose 6-elemente, secili prej tyre është i zëvendësuar në mënyrë opsionale me një ose më shumë zëvendësues, çdo zëvendësues që është në mënyrë të pavarur halogjen, ciano, nitro,  $C_1-C_4$  alkil,  $C_1-C_4$  aminoalkil,  $C_1-C_4$  hidroksialkil,  $OR_b$ ,  $N(R_bR_b')$ ,  $C(O)-N(R_bR_b')$ , ose  $NH-C(O)-N(R_bR_b')$ , në të cilin çdo  $R_b$ , në mënyrë të pavarur, është H ose  $C_1-C_4$  alkil dhe çdo  $R_b'$ , në mënyrë të pavarur, është H ose  $C_1-C_4$  alkil;

$Ar^3$  është aril ose heteroaril me 5- ose 6-elemente, secili prej tyre është i zëvendësuar në mënyrë opsionale me një ose më shumë zëvendësues, çdo zëvendësues që është në mënyrë të pavarur halogjen,  $C_1-C_4$  alkil,  $C_1-C_4$  hidroksialkil,  $OR_c$ , ose  $N(R_cR_c')$ , në të cilin çdo  $R_c$ , në mënyrë të pavarur, është H ose  $C_1-C_4$  alkil dhe çdo  $R_c'$ , në mënyrë të pavarur, është H ose  $C_1-C_4$  alkil; çdo  $R^1$ , në mënyrë të pavarur, është  $C_1-C_4$  alkil,  $C_1-C_4$  aminoalkil,  $C_1-C_4$  hidroksialkil,  $OR_d$ , ose  $C(O)-N(R_dR_d')$ , në të cilin çdo  $R_d$ , në mënyrë të pavarur, është H ose  $C_1-C_4$  alkil dhe çdo  $R_d'$ , në mënyrë të pavarur, është H ose  $C_1-C_4$  alkil;

$R^2$  është  $-(CH_2)_n-R$ , në të cilin n është 0, 1, 2, ose 3 dhe R është  $N(CH_3)_2$ ,  $NH(CH(CH_3)_2)$ ,  $NH-C(O)-CH(NH_2)-(CH_2)_4-N(CH_3)_2$ ,  $NH-C(O)-CH_2-(OCH_2CH_2)_2-NH_2$ , 3-amino-1,2,4-triazol-5-il,  $N(CH_2CH_3)_2$ , ose guanidino zëvendësuar me  $CH_3$ ; dhe

çdo  $R^3$ , në mënyrë të pavarur, është halogjen,  $C_1-C_4$  alkil, ose  $OR_f$ , në të cilin çdo  $R_f$ , në mënyrë të pavarur, është H ose  $C_1-C_4$  alkil.

2. Përbërja e pretendimit 1, ku  $Ar^1$  është piridinil, oksazolil, tiazolil, imidazolil, pirimidinil, pirolil, ose triazolil, secili prej tyre është i zëvendësuar në mënyrë opsionale me një ose më shumë zëvendësues, çdo zëvendësues që është në mënyrë të pavarur F, Cl,  $NO_2$ ,  $CH_3$ ,  $CH_2OH$ , ose  $NH_2$ .
3. Përbërja e pretendimit 1, ku  $Ar^2$  është fenil ose piridinil, secili prej tyre është i zëvendësuar në mënyrë opsionale me një ose më shumë zëvendësues, çdo zëvendësues që është në mënyrë të pavarur  $CH_2NH_2$ ,  $C(O)NH_2$ , OH, CN,  $CH_2OH$ ,  $NH_2$ , ose  $NH-C(O)-NH_2$ .

4. Përbërja e pretendimit 1, ku  $Ar^3$  është piridinil.
5. Përbërja e pretendimit 1, ku m është 1.
6. Përbërja e pretendimit 5, ku  $R^1$  është OH, C(O)NH<sub>2</sub>, ose CH<sub>2</sub>NH<sub>2</sub>.
7. Përbërja e pretendimit 1, ku n është 0, 1, ose 2.
8. Përbërja e pretendimit 1, ku p është 0.
9. Përbërja e pretendimit 1, ku përbërja është Oksazol-2-karbonil-D-Val-Phe(2-Cbm)-c(Cys-Orn(iPr)-Asp-Val-Gly-Pro-Phe-Cys)-3Pal-NH<sub>2</sub>.
10. Përbërja e pretendimit 1, ku përbërja është
  - Pikolinoil-D-Val-Tyr-c(Cys-Dab(Et<sub>2</sub>)-Asp-Val-Gly-Pro-Phe-Cys)-3Pal-NH<sub>2</sub>;
  - Pikolinoil-D-Val-Tyr-c(Cys-Dab(iPr)-Asp-Val-Gly-Pro-Phe-Cys)-3Pal-NH<sub>2</sub>;
  - Pikolinoil(5-F)-D-Val-Tyr-c(Cys-Orn(iPr)-Asp-Val-Gly-Pro-Phe-Cys)-3Pal-NH<sub>2</sub>;
  - Pikolinoil-D-Val-Tyr-c(Cys-Orn(Et<sub>2</sub>)-Asp-Val-Gly-Pro-Phe-Cys)-3Pal-NH<sub>2</sub>;
  - Pikolinoil(5-F)-D-Val-Phe(2-Cbm)-c(Cys-Orn(iPr)-Asp-Val-Gly-Dhp-3Pal-Cys)-3Pal-NH<sub>2</sub>;
  - Pikolinoil(5-F)-D-Val-Phe(2-Cbm)-c(Cys-Orn(iPr)-Asp-Val-Gly-Pro-3Pal-Cys)-3Pal-NH<sub>2</sub>;
  - Oksazol-2-karbonil-D-Val-Phe(2-Cbm)-c(Cys-Orn(iPr)-Asp-Val-Gly-Pro-3Pal-Cys)-3Pal-NH<sub>2</sub>;
  - Oksazol-2-karbonil-D-Val-Phe(2-Cbm)-c(Cys-Orn(iPr)-Asp-Val-Gly-Dhp-Phe(3-CH<sub>2</sub>NH<sub>2</sub>)-Cys)-3Pal-NH<sub>2</sub>;
  - Oksazol-2-karbonil-D-Val-Phe(2-Cbm)-c(Cys-Orn(iPr)-Asp-Val-Gly-Dhp-4Aph-Cys)-3Pal-NH<sub>2</sub>;
  - Oksazol-2-karbonil-D-Val-Phe(2-Cbm)-c(Cys-Orn(iPr)-Asp-Val-Gly-Dhp-4Uph-Cys)-3Pal-NH<sub>2</sub>;
  - Pikolinoil(5-F)-D-Val-Tyr-c(Cys-Orn(iPr)-Asp-Val-Gly-Pro-Phe(4-CH<sub>2</sub>OH)-Cys)-3Pal-NH<sub>2</sub>;
  - Pikolinoil(3,5-F<sub>2</sub>)-D-Val-Tyr-c(Cys-Orn(iPr)-Asp-Val-Gly-Pro-Phe-Cys)-3Pal-NH<sub>2</sub>;
  - Pikolinoil(5-F)-D-Val-Phe(2-Cbm)-c(Cys-Orn(iPr)-Asp-Val-Gly-Dhp-Phe(4-CH<sub>2</sub>OH)-Cys)-3Pal-NH<sub>2</sub>;
  - Oksazol-2-karbonil-D-Val-Phe(2-Cbm)-c(Cys-Orn(iPr)-Asp-Val-Gly-Pro-Phe(4-CH<sub>2</sub>OH)-Cys)-3Pal-NH<sub>2</sub>;
  - Oksazol-2-karbonil-D-Val-Phe(2-Cbm)-c(Cys-Orn(iPr)-Asp-Val-Gly-Dhp-Phe(3-Cbm)-Cys)-3Pal-NH<sub>2</sub>;

Pikolinoil(5-F)-D-Val-Phe(2-Cbm)-c(Cys-Orn(iPr)-Asp-Val-Gly-Dhp-Phe(2-Cbm)-Cys)-3Pal-NH<sub>2</sub>;

Oksazol-2-karbonil-D-Val-Tyr-c(Cys-Orn(iPr)-Asp-Val-Gly-Dhp-Phe(3-Cbm)-Cys)-3Pal-NH<sub>2</sub>;

Pikolinoil(5-F)-D-Val-Tyr-c(Cys-Orn(iPr)-Asp-Val-Gly-Dhp-Phe(3-Cbm)-Cys)-3Pal-NH<sub>2</sub>; ose

Pikolinoil-D-Val-Tyr-c(Cys-Orn(iPr)-Asp-Val-Gly-Dhp-Phe(4-CH<sub>2</sub>OH)-Cys)-3Pal-NH<sub>2</sub>.

11. Një kompozim farmaceutik, që përfshin përbërjen e ndonjërit prej pretendimeve 1 deri në 10 dhe një mbartës farmaceutikisht të pranueshëm.

12. Kompozimi farmaceutik i pretendimit 11, ku kompozimi përfshin një tretësirë ujore.

13. Kompozimi farmaceutik i pretendimit 12, ku kompozimi përfshin një tretësirë ujore të klorurit të natriumit.

14. Kompozimi farmaceutik i pretendimit 13, ku tretësira ujore përfshin rreth 0.9 wt% të klorurit të natriumit.

15. Një përbërje e ndonjërit prej pretendimeve 1 deri në 10 për, ose për përdorim në, trajtimin e migrenës.

16. Një përbërje e zgjedhur nga:

Pikolinoil-D-Val-Tyr-c(Cys-Orn-Asp-Val-Gly-Pro-Phe(4-CH<sub>2</sub>OH)-Cys)-3Pal-NH<sub>2</sub>; ose

Pikolinoil(3,5-F<sub>2</sub>)-D-Val-Tyr-c(Cys-Arg-Asp-Val-Gly-Pro-Phe-Cys)-3Pal-NH<sub>2</sub>; ose

Bz(4-F)-D-Val-Tyr-c(Cys-Arg-Asp-Val-Gly-Pro-3Pal-Cys)-3Pal-NH<sub>2</sub>; ose

Bz(4-F)-D-Val-Tyr-c(Cys-Dpr-Asp-Val-Gly-Pro-Phe(3-Cbm)-Cys)-3Pal-NH<sub>2</sub>; ose

Bz(4-F)-D-Val-Phe(2-Cbm)-c(Cys-Arg-Asp-Val-Gly-Pro-Phe-Cys)-3Pal-NH<sub>2</sub>.

**SKADIM I PATENTËS PËR MOSPAGESËN E  
RIPËRTËRITJES**



( 11 ) **2744**

( 97 ) EP1583542 / 18/06/2008

( 96 ) 04701819.7 / 13/01/2004

( 21 ) AL/P/ 2008/2755

( 22 ) 01/09/2008

( 54 ) PERBERJE DHE METODA PER KOMBINIM TERAPI ANTIVIRALE

( 73 ) GILEAD SCIENCES, INC.

333 Lakeside Drive Foster City, California 94404 , US

( 74 ) Rajmonda KARAPICI

Rr."Muhamet GJOLLESHA", Pall1, Shk..2, Ap.5 Tiranë

( 11 ) **4000**

( 97 ) EP1868645 / 07/03/2012

( 96 ) 06740419.4 / 31/03/2006

( 21 ) AL/P/ 2012/4058

( 22 ) 28/03/2012

( 54 ) PERBERJE E KONJUGUAR (ÇIFT) E PROTEINES POLISAKARIDE PNEUMONOKOKALE MULTIVALENTE;

( 73 ) Wyeth LLC

Five Giralda Farms Madison, NJ 07940 , US

( 74 ) Eno DODBIBA

RR."Naim FRASHERI" P.60/3, Shk.1, Ap.16, Tiranë